



T.C.

BARTIN ÜNİVERSİTESİ
FEN BİLİMLERİ ENSTİTÜSÜ
MAKİNE MÜHENDİSLİĞİ ANABİLİM DALI

YÜKSEK LİSANS TEZİ

GÜNEŞ ENERJİSİ KAYNAKLI ABSORPSİYONLU BİR SOĞUTMA
SİSTEMİNİN İLERİ EKSERJİ ANALİZİ

HAZIRLAYAN
MURAT BERTAN PARILTI

DANIŞMAN
DR. ÖĞR. ÜYESİ ABİD USTAOĞLU

BARTIN-2019



T.C.

**BARTIN ÜNİVERSİTESİ
FEN BİLİMLERİ ENSTİTÜSÜ
MAKİNE MÜHENDİSLİĞİ ANABİLİM DALI**

**GÜNEŞ ENERJİSİ KAYNAKLI ABSORPSİYONLU BİR SOĞUTMA
SİSTEMİNİN İLERİ EKSERJİ ANALİZİ**

YÜKSEK LİSANS TEZİ

HAZIRLAYAN

Murat Bertan PARILTI

JÜRİ ÜYELERİ

Danışman : Dr. Öğr. Üyesi Abid USTAOĞLU - Bartın Üniversitesi
Üye : Dr. Öğr. Üyesi Bilal KURŞUNCU - Bartın Üniversitesi
Üye : Doç. Dr. Engin GEDİK - Karabük Üniversitesi

BARTIN-2019

KABUL VE ONAY

Murat Bertan PARILTI tarafından hazırlanan “GÜNEŞ ENERJİSİ KAYNAKLI ABSORPSİYONLU BİR SOĞUTMA SİSTEMİNİN İLERİ EKSERJİ ANALİZİ” başlıklı bu çalışma, 06.08.2019 tarihinde yapılan savunma sınavı sonucunda oy birliği ile başarılı bulunarak jürimiz tarafından Yüksek Lisans Tezi olarak kabul edilmiştir.

Başkan : Dr. Öğr. Üyesi Abid USTAOĞLU
(Danışman)

Üye : Dr. Öğr. Üyesi Bilal KURŞUNCU

Üye : Doç. Dr. Engin GEDİK

Bu tezin kabulü Fen Bilimleri Enstitüsü Yönetim Kurulu'nun/...../20... tarih ve 20...../.....-..... sayılı kararıyla onaylanmıştır.

Prof. Dr. H. Selma ÇELİKAY
Fen Bilimleri Enstitüsü Müdürü

BEYANNAME

Bartın Üniversitesi Fen Bilimleri Enstitüsü tez yazım kılavuzuna göre Dr. Öğr. Üyesi Abid USTAOĞLU danışmanlığında hazırlamış olduğum “GÜNEŞ ENERJİSİ KAYNAKLI ABSORPSİYONLU BİR SOĞUTMA SİSTEMİNİN İLERİ EKSERJİ ANALİZİ” başlıklı yüksek lisans tezimin bilimsel etik değerlere ve kurallara uygun, özgün bir çalışma olduğunu, aksinin tespit edilmesi halinde her türlü yasal yaptırımını kabul edeceğimi beyan ederim.

06.08.2019

Murat Bertan PARILTI

ÖNSÖZ

“Güneş enerjisi kaynaklı absorpsiyonlu bir soğutma sisteminin ileri ekserji analizi” isimli bu çalışmanın gerçekleşmesinde, yardımını esirgemedi bana destek olan, değerli bilgileri ile bana ışık tutan ve kullandığı her kelimenin önemini hayatım boyunca unutmayacağım değerli danışman hocam Dr. Öğr. Üyesi Abid USTAOĞLU’na öncelikli olarak en derin saygılarımı ve teşekkürlerimi sunarım. Yüksek lisans çalışmalarımda hiçbir zaman yardımını esirgemeyen değerli hocam Mustafa ALPTEKİN’e teşekkürlerimi sunarım. Ayrıca Bölüm başkanımız Prof. Dr. Mustafa Sabri GÖK’e yardımlarını esirgemediği için teşekkür ederim. Yüksek lisansım boyunca maddi ve manevi desteklerini esirgemeyen canım aileme teşekkürlerimi sunarım.

Murat Bertan PARILTI

ÖZET

Yüksek Lisans Tezi

GÜNEŞ ENERJİSİ KAYNAKLI ABSORPSİYONLU BİR SOĞUTMA SİSTEMİNİN İLERİ EKSERJİ ANALİZİ

Murat Bertan PARILTI

Bartın Üniversitesi

Fen Bilimleri Enstitüsü

Makine Mühendisliği Anabilim Dalı

Tez Danışmanı: Dr. Öğr. Üyesi Abid USTAOĞLU

Bartın-2019, sayfa: 66

Bu çalışmada, güneş enerjisi kaynaklı absorpsiyonlu bir soğutma sisteminin ileri ekserji analizi gerçekleştirilmiştir. Bu çalışmanın amacı sistem parametrelerinin sistem performansı üzerindeki etkisini incelemektir. Öncelikle farklı literatür çalışmaları incelenmiş ve uygulamada var olan sistemler hakkında araştırmalar yapılmıştır. Ayrıca çalışmada absorpsiyonlu çalışma sistemlerinin türleri ve çalışma sıvılarının çeşitliliğinden bahsedilmiştir. EES programında tek etkili absorpsiyonlu soğutma sistemlerinin analizini yapmak için amonyak-su akışkan çifti seçilmiştir. Amonyak soğutucu akışkan olarak seçilirken absorbent olarak amonyak-su eriyiği seçilmiştir. Termodinamiğin birinci yasası kullanılarak her bir komponent için kütle ve enerji denge eşitlikleri oluşturulmuştur. Böylece çevrimdeki her bir noktanın entalpi ve entropi değerleri hesaplanmıştır. Sistemin enerji analizi yapıldıktan sonra termodinamiğin ikinci yasasını kullanarak sistemde bulunan komponentlerin geleneksel ekserji değerleri hesaplanmıştır. Sistemin soğutma performansı (COP), ekserji verimi ve her bir komponentin ekserji yıkımları bulunmuştur. Geleneksel ekserji analizi daha detaylı analiz sonuçları elde etmede yetersiz kalmaktadır. Bu yüzden daha hassas sonuçlar elde etmek için ileri ekserji analizine ihtiyaç duyulmaktadır. İleri ekserji analizi sayesinde sistemde bulunan komponentler arasındaki ilişkiyi ve geliştirme potansiyelleri belirlenmiştir. Sistemin toplam ekserji yıkımı 16.45 kW, soğutma performansı

0.3 ve ekserji verimi %30 olarak hesaplanmıřtır. Genleřme valfi1 ve pompa en kk kaınılabilir ekserji yıkım oranına sahip komponentlerdir.

Anahtar Kelimeler: Absorpsiyonlu soğutma sistemi; tek etkili; amonyak-su; enerji analizi; ekserji analizi; çevrim; akışkan çifti.

Bilim Kodu: 625.04.01

ABSTRACT

M. Sc. Thesis

ADVANCED EXERGY ANALYSIS OF A SOLAR ENERGY POWERED ABSORPTION REFRIGERATION SYSTEM

Murat Bertan PARILTI

Bartın University

Graduate School of Natural and Applied Sciences

Department of Mechanical Engineering

Thesis Advisor: Assist. Prof. Abid USTAOĞLU

Bartın-2019, pp: 66

In this study, advanced exergy analysis of an absorption cooling system based on solar energy was performed. The aim of this study is to investigate the effect of system parameters on system performance. Firstly, different literature studies have been evaluated and researches have been made about the existing systems in practice. In addition, the types of working systems with absorption and the variety of working fluids were mentioned. In the EES program, the ammonia-water fluid pair was selected to analyze single-effect absorption cooling systems. Ammonia was chosen as refrigerant and ammonia-water solution was chosen as absorbent. Using the first law of thermodynamics, the mass and energy balance equations for each component were found. Thus, enthalpy and entropy values of each point in the cycle and thermodynamic properties of fluids were calculated. After the energy analysis of the system, conventional exergy values of the components in the system were calculated by using the second law of thermodynamics. The cooling performance (COP) of the system was found. Conventional exergy analysis fails to obtain more detailed analysis results. Therefore, further exergy analysis is needed to obtain more accurate results. Further exergy analysis identified the relationship between the components in the system and their development potential. Total exergy destruction of the system was calculated as 16.45 kw, cooling performance was 0.3 and exergy efficiency was calculated as 30%. The expansion

valve1 and pump are the components with the smallest avoidable exergy destruction rate.

Keywords: Absorption refrigeration system; single effect; ammonia-water; energy analysis; exergy analysis; cycle; fluid pair.

Science Code: 625.04.01

İÇİNDEKİLER

	<u>Sayfa</u>
KABUL VE ONAY	ii
BEYANNAME.....	iii
ÖNSÖZ.....	iv
ÖZET	v
ABSTRACT	vii
İÇİNDEKİLER.....	ix
SİMGELER VE KISALTMALAR DİZİNİ	xv
BÖLÜM 1 GİRİŞ	1
1.1 Çalışmanın Amacı.....	1
1.2 Literatür Özeti.....	2
1.3. Enerji.....	10
1.3.1 Küresel Enerji Problemleri.....	11
1.3.2 Yenilenebilir Enerji Kaynakları	11
1.3.2.1 Rüzgar Enerjisi	11
1.3.2.2 Jeotermal Enerjisi	12
1.3.2.3 Hidrolik Enerjisi	12
1.3.2.4 Hidrojen Enerjisi	12
1.3.2.5 Dalga Enerjisi	12
1.3.2.6 Biyokütle Enerjisi.....	13
1.3.2.7 Güneş Enerjisi	13
1.4 Absorpsiyonlu Soğutma Sistemleri	13
1.5 Absorpsiyonlu Soğutma Sistemi Türleri.....	14
1.5.1 Tek Etkili Absorpsiyonlu Soğutma Sistemi	14
1.5.2 Çift Etkili Absorpsiyonlu Soğutma Sistemi.....	14
1.5.3 Absorpsiyonlu Isı Yükselticileri	15
1.5.4 Çok Kademeli Absorpsiyonlu Soğutma Sistemi.....	16
1.5.5 GAX'lı Absorpsiyonlu Soğutma Çevrimi.....	17
1.5.6 Absorber-ısı Korunumlu Absorpsiyonlu Soğutma Çevrimi	18

1.5.7 Yarım Kademeli Absorbsiyonlu Soğutma Çevrimi	18
1.5.8 Sorpsiyon-Resorpsiyon Çevrimi	19
1.5.9 Kombine Ejektör-Absorbsiyonlu Soğutma Döngüsü	19
1.5.10 Ozmotik-Membran Absorbsiyon Çevrimi	20
1.6 Soğutucu Soğutma Sistemleri için Çalışma Sıvısı.....	20
1.7 Absorpsiyonlu Soğutma Sistemlerine Ait Temel Elemanlar	21
1.7.1 Jeneratör	21
1.7.2 Kondenser (Yoğuşturucu)	21
1.7.3 Evaporatör (Buharlaştırıcı).....	21
1.7.4 Absorber	21
1.7.5 Çözelti Pompası	22
1.7.6 Isı Değiştirici.....	22
1.7.7 Genleşme Valfi.....	22
1.8 Aşırı Soğutma	22
1.9 Aşırı Kızdırma	23
1.10 Absorbsiyonlu Soğutma Sistemlerinin Kullanılan Akışkan Çiftlerine Göre Özellikleri ve Sınıflandırılması.....	23
1.11 Amonyak-Sulu Sistemler	25
BÖLÜM 2 MATERYAL VE METOT	27
2.1 Tek Etkili Absorpsiyonlu Soğutma Çevrimi	27
2.1.1 Tek Etkili Absorbsiyonlu Soğutma Sistemlerinin Enerji ve Ekserji Analizi	28
2.1.1.1 Absorbsiyonlu Soğutma Sistemlerinin Enerji Analizi	28
2.1.1.2 Absorbsiyonlu Soğutma Sistemlerinin Entropi ve Ekserji Analizi	32
2.2 Soğutma Tesir Katsayısı (COP).....	34
2.3 İleri Ekserji Analiz Metodu	35
BÖLÜM 3 BULGULAR VE TARTIŞMA	38
3.1 Geleneksel Ekserji Analizi Sonuçları	41
3.1.1 Kondenser Sıcaklığının Etkisi.....	41
3.1.2 Evaporatör Sıcaklığının Etkisi	44

3.1.3 Jeneratör Sıcaklığının Etkisi	47
3.1.4 Absorber Sıcaklığının Etkisi	49
3.2 İleri Ekserji Analizi Sonuçları	52
BÖLÜM 4 SONUÇ VE ÖNERİLER	58
KAYNAKLAR.....	60
ÖZGEÇMİŞ.....	65

ŞEKİLLER DİZİNİ

Şekil No	Sayfa No
1.1: Çift Etkili Absorbsiyonlu Soğutma Sistemi	15
1.2: Absorbsiyonlu Isı Yükselticileri	16
1.3: Çok Kademeli Absorbsiyonlu Soğutma Sistemi	16
1.4: GAX'lı Absorbsiyonlu Soğutma Çevrimi.....	17
1.5: Absorber-ısı Korunumlu Absorbsiyonlu Soğutma Çevrimi	18
1.6: Yarım Kademeli Absorbsiyonlu Soğutma Çevrimi	19
1.7: Kombine Buhar Absorbsiyon Sıkıştırma Çevrimi	19
1.8: Ozmotik-Membran Absorbsiyon Çevrimi	20
2.1: Tek etkili absorbsiyonlu soğutma çevrimi	27
3.1: Geliş açısı-güç üretimi arasındaki ilişki	40
3.2: Geliş açısı-termal verim arasındaki ilişki	41
3.3: Kondenser sıcaklığı ile ekserji verimi değişimi	42
3.4: Kondenser sıcaklığı ile komponentlerdeki ekserji yıkımlarının değişimi.....	42
3.5: Kondenser sıcaklığı ile gerçek, ideal ve kaçınılmaz şartlar altındaki toplam ekserji yıkımlarının değişimi	43
3.6: Kondenser sıcaklığı ile COP değişimi	44
3.7: Evaporatör sıcaklığı ile ekserji verimi değişimi.....	44
3.8: Evaporatör sıcaklığı ile komponentlerdeki ekserji yıkımlarının değişimi	45
3.9: Evaporatör sıcaklığı ile gerçek, ideal ve kaçınılmaz şartlar altındaki toplam ekserji yıkımlarının değişimi.....	46
3.10: Evaporatör sıcaklığı ile COP değişimi	46
3.11: Jeneratör sıcaklığı ile gerçek, ideal ve kaçınılmaz şartlar altındaki toplam ekserji yıkımlarının değişimi	47
3.12: Jeneratör sıcaklığı ile COP değişimi	48
3.13: Jeneratör sıcaklığı ile ekserji verimi değişimi.....	48
3.14: Jeneratör sıcaklığı ile komponentlerdeki ekserji yıkımlarının değişimi	49
3.15: Absorber sıcaklığı ile ekserji verimi değişimi.....	50
3.16: Absorber sıcaklığı ile komponentlerdeki ekserji yıkımlarının değişimi	50
3.17: Absorber sıcaklığı ile gerçek, ideal ve kaçınılmaz şartlar altındaki toplam ekserji yıkımlarının değişimi	51

3.18: Absorber sıcaklığı ile COP değişimi	52
3.19: Komponentlerin ekserji yıkımlarının yüzde dağılımları	53
3.20: Komponentlerin kaçınılabılır ekserji yıkımlarının yüzde dağılımları	54
3.21: Komponentlerin kaçınılamaz ekserji yıkımlarının yüzde dağılımları	54
3.22: Komponentlerin içsel ekserji yıkımlarının yüzde dağılımları	55
3.23: Komponentlerin dışsal ekserji yıkımlarının yüzde dağılımları	56
3.24: Komponentlerin kaçınılabılır ve kaçınılamaz ekserji yıkım oranlarının dağılımları	56
3.25: Komponentlerin içsel ve dışsal ekserji yıkım oranlarının dağılımları	57

TABLULAR DİZİNİ

Tablo	Sayfa
No	No
1.1: Üzerinde çalışma yapılan akışkan çiftleri	24
2.1: Sisteme giriş parametreleri.....	30
2.2: Gerçek, kaçınılamaz ve ideal şartlar altındaki değerler	37
3.1: Sistemin gerçek şartlar altındaki termodinamik özellikleri.....	38
3.2: Sistemin ideal şartlar altındaki termodinamik özellikleri	40
3.3: Sistemin kaçınılamaz şartlar altındaki termodinamik özellikleri.....	40
3.4: İdeal, kaçınılamaz ve gerçek çevrimlerin güç ve çevrimleri.....	52
3.5: Kaçınılabılır-kaçınılamaz ve içsel-dışsal ekserji yıkımları	53

SİMGELER VE KISALTMALAR DİZİNİ

AK	:	Aşırı kızdırma
AS	:	Aşırı soğutma
P	:	Basınç
X	:	Çözelti derişimi
S	:	Entropi
h	:	Entalpi
q	:	Kuruluk derecesi
v	:	Özgöl hacim
e	:	Özgöl ekserji yıkımı
s	:	Özgöl entropi
T	:	Sıcaklık
COP	:	Soğutma tesir katsayısı
COP_{carnot}	:	Carnot verimi (tersinmezlik)
T_d	:	Doymuş buhar sıcaklığı
η_{ex}	:	Ekserji yıkımı
$\dot{E}x_{dest}$:	Entropi üretimi
$\dot{E}x$:	Ekserji yıkımı
\dot{Q}	:	Isı transferi
ε	:	Isı deęiřtiricinin verimi
\dot{m}	:	Kütlesel debi
η_p	:	Pompanın izantropik verimi

KISALTMALAR

A, ABS	:	Absorber
E, EVP	:	Evaporatör
EXP	:	Genleşme valfi
HEX	:	Isı deęiřtirici
G, GEN	:	Jeneratör
C, CON	:	Kondenser
Pmp		Pompa

BÖLÜM 1

GİRİŞ

1.1 Çalışmanın Amacı

Son yıllarda soğutma teknolojisi bünyesinde yapılan yenilikler sayesinde çok önemli mesafeler alınmıştır fakat enerjiye artan talep beraberinde küresel ısınma gibi birçok çevre problemlerini de gündeme getirmiştir. Enerji maliyetlerinin artması neticesinde absorpsiyonlu soğutma sistemlerine olan rağbeti arttırmıştır. Ayrıca artan bu enerji ihtiyacını yüksek maliyetli geleneksel yakıtlar veya elektrik enerjisi yerine güneş, atık ısı olarak endüstriyel atıklar, jeotermal enerji, buhar veya doğal yer altı sıcak su kaynakları gibi yenilenebilir temiz enerji kaynakları kullanılmaktadır. Soğutma teknolojisinde absorpsiyonlu soğutma sistemleri yenilenebilir enerji kaynaklarının kullanımına verilecek örneklerden biridir. Absorpsiyonlu soğutma sistemleri her ne kadar farklı komponentler içerse de temel çalışma prensibi buhar sıkıştırımlı mekanik soğutma sistemlerine genel olarak benzerdir. Buhar sıkıştırımlı mekanik soğutma sistemlerinde bulunan kompresörün yerini absorpsiyonlu soğutma çevriminde absorber, jeneratör, genişleme valfi ve pompa yer almaktadır. Absorpsiyonlu soğutma sistemlerinin ekonomik ve verim açısından klasik soğutma sistemlerine göre alternatif olarak tercih edilmelerinde birtakım avantajları vardır. Bu avantajlar arasında absorpsiyonlu soğutma çevrimlerinin düşük sıcaklıklı ısı kaynaklarıyla çalışabilmesi en önemli avantajları arasında gösterilir. Ayrıca sessiz çalışması, uzun ömürlü olması, kullanılan akışkan çiftlerinin ozon tabakasına zarar vermemeleri, ayrıca başlangıçta yatırım maliyetlerinin yüksek olmasına rağmen bakım gerektirmemesi ve kolay kolay arızalanmaması sistemi avantajlı kılan etkenler arasındadır. Absorpsiyonlu soğutma sistemleri birçok çeşit altında sınıflandırılmaktadır ve bunlar birincil jeneratörün ısı giriş yöntemine ve çevrimin tek veya çok kademeli olmasına göre adlandırılmaktadır. Tek kademeli absorpsiyonlu soğutma çevrimlerinde 80-130°C giriş aralığındaki sıcaklığın ısısı ile çalışmaktadır ve soğutma performans katsayısı (COP) 0.7-0.8 değerlerindedir. Bu sistemlerde düz güneş kolektörleri ile maksimum 110-120 °C aralığında kızgın su eldesi mümkün olmaktadır. Bu problem yoğunlaştırıcı güneş kolektörleri ile çözülmüştür. Soğutma sistemleri ve güç çevrimleri ile ilgili birçok enerji ve geleneksel ekserji analizi yapılmıştır. Fakat ileri ekserji analizi son yıllarda gelişmiştir. Geliştirme potansiyellerini

belirlemek ve komponentler arasındaki ilişkiyi belirlemek için geleneksel ekserji analizi yeterli değildir bu yüzden ileri ekserji analizine gerek duyulmuştur. Soğutma sistemleriyle ilgili olarak buhar sıkıştırılmalı, ejektör ve absorpsiyonlu soğutma sistemiyle alakalı literatürde ileri ekserjiyle ilgili sınırlı çalışma vardır. Ülkemizde de absorpsiyonlu soğutmanın ileri ekserji analizini içeren herhangi bir tez çalışması bulunmamaktadır. Bu çalışmada buhar sıkıştırılmalı güneş enerjisi kaynaklı bir absorpsiyonlu soğutma sisteminin geleneksel ve ileri ekserji analizi gerçekleştirilmiştir. Evaporatör, kondenser, absorber ve jeneratör sıcaklıklarının COP, ekserji verimi ve ekserji yıkımı üzerindeki etkisi araştırılmıştır. Bunun yanında ileri ekserji analizi gerçekleştirilerek her bir komponentin geliştirme potansiyeli ve sistem komponentleri arasındaki ilişki incelenmiştir. İleri ekserji analizi kaçınılmaz-kaçınılabılır, içsel-dışsal kısımlar olmak üzere iki kısma ayrılmıştır. Bu çalışmada, absorpsiyonlu soğutma sisteminde akışkan çifti olarak amonyak-su çifti seçilmiştir.

1.2 Literatür Özeti

Chougui vd. (2014), bir endüstriyel deterjan üreten fabrikada tek etkili (LiBr/H₂O) absorpsiyonlu soğutmanın enerji analizini yaptı. 90°C 'den daha düşük sıcaklıktaki jeneratör sıcaklıklarında sistemin COP sinde artış görülürken bu değerin üstüne çıktığında azalmaya başlamaktadır.

Garousi vd. (2013), NH₃-H₂O ve LiBr-H₂O akışkan çiftlerine alternatif olarak amonyak-tuz çiftlerini (amonyak/ lityum nitrat ve amonyak/ sodyum tiyosiyanat) termodinamiğin birinci ve ikinci kanunlarıyla analiz yaparak daha yüksek COP değeri elde ettiler. Soğutma uygulamalarında 0°C altındaki sıcaklıklar için özellikle iyi bir alternatif oluşturmaktadır. Ayrıca bu sistemlerde soğutucu buharın saflaştırılması gerekmemektedir. Analiz sonuçları düşük jeneratör sıcaklıkları için amonyak/ lityum nitrat çevriminin daha iyi performansa sahipken, yüksek jeneratör sıcaklıkları için ise amonyak/ sodyum tiyosiyanat çevriminin daha iyi performansa sahip olduğunu göstermiştir. Amonyak/ lityum nitrat çevrimi daha düşük jeneratör sıcaklıklarında çalışıyor olması onu bu özelliğiyle güneş enerjisi gibi düşük ısı kaynaklarının kullanımına daha uygun yapmaktadır. Amonyak/ sodyum tiyosiyanat çevrimi için sirkülasyon oranı amonyak/ lityum nitrat çevriminden daha yüksektir. Artan jeneratör ve evaporatör sıcaklıkları ve azalan absorplayıcı ve kondenser sıcaklıkları sirkülasyon oranını azaltır. Jeneratör sıcaklığındaki artış kristalizasyonun oluşumunu

artırıyor. Ayrıca, kondenser sıcaklığındaki artış ve çözelti ısı değiştiricisinin verimindeki artış düşük sıcaklıklarda kristalizasyonun oluşmasını sağlıyor.

Bhaumik vd. (2016), küçük kapasiteli tek etkili lityum bromür absorpsiyonlu soğutma sisteminin enerji ve ekserji analizi araştırmasını yapmışlardır. Maryami vd. (2017) yarım etkili ve üçlü etkili LiBr/su absorpsiyonlu soğutma sistemleri arasında ekserji analizi kıyaslaması yapmışlardır. Yarım etkiliden üçlü etkili sistemlere doğru COP ve ekserji verimi artış göstermiştir.

Dehua vd. (2015), termodinamiğin ilk yasasını kullanarak yeni bir çift etkili hava soğutmalı adyabatik olmayan amonyak/tuz absorpsiyonlu soğutma sisteminin analizini yaptılar. Sistemde aracı akışkan olarak amonyak/ lityum nitrat ve amonyak/ sodyum tiyosiyanat çiftleri kullanılarak çalışma gerçekleştirildi. Çift etkili absorpsiyonlu soğutma sistemin parametrik analizi sonucu soğutma amacı için yüksek ısı kaynağı olarak atık ısı enerjisi kullanıldı. Çift etkili sistemlerde COP değeri tek etkili sistemlere göre daha yüksek elde edildi ve çift etkili absorpsiyonlu soğutma sistemleri yüksek sıcaklıktaki atık ısı enerjisi için daha elverişli olduğu belirlendi.

Esa vd. (2017), güneş enerjili lityum bromür/su absorpsiyonlu soğutma sistemini düz plakalı kollektörle bütünleştirerek ekserji analizini yaptılar. Kondenser ve evaporatörde oluşan ısı yükleri ve ekserji kayıpları jeneratör ve absorplayıcıdakine göre daha azdır. Bunun sebebi jeneratör ve absorplayıcıdaki ısı ve çözelti karışımı ile birlikte tersinmezliklerdir. Jeneratöre giriş sıcaklığındaki artış COP deki artışa sebep olur ve sonra sabitleşerek azalışa neden olur. Soğutma kapasitesi jeneratör sıcaklığıyla artarken, ekserjik soğutma azalmaktadır. Sistemin ekserji kaybı azalması ve çözelti ısı değiştirilişinin veriminin artması absorpsiyonlu soğutma sisteminin performansını geliştirdi. Ekserji analizi sonuçları güneş kollektörü ve jeneratörün yüksek sıcaklık farkından dolayı tersinmezliğin iki ana kaynağı olduğunu göstermiştir.

Adewusi vd. (2003), termodinamiğin ikinci yasasını kullanarak tek aşamalı ve çift aşamalı amonyak su çiftli absorpsiyonlu soğutma çiftinin termodinamik analizini yaptılar. Her bir bileşenin entropisi, tüm bileşenlerin toplam entropisi ve absorpsiyonlu soğutma sisteminin COP si EES yazılım programı kullanılarak hesaplandı. İki aşamalı için entropi üretimi tek aşamalıdan daha iyi olmuştur. Ayrıca iki aşamalıının verimi daha az olmuştur.

Kaynaklı vd. (2015), farklı ısı kaynaklarında çift etkili absorpsiyonlu soğutma sisteminin enerji ve ekserji analizini yaptılar. Akışkan çifti olarak lityum bromür çiftini kullanarak tüm sistemin çalışma sıcaklıklarının etkisini araştırdılar. Isı kaynaklarının sıcaklıkları arttığı zaman ekserji yıkımı da artmaktadır. Yüksek basınçlı jeneratörün ekserji yıkımı arttıkça kondenser ve absorplayıcının da sıcaklığı artmaktadır.

Hareh vd. (2016), tek etkili lityum bromür su absorpsiyonlu soğutma sisteminin MATLAB yazılım programı kullanılarak ekserji analizini yaptılar. Jeneratörün çıkış sıcaklığının artmasıyla COP de artarak sabitleniyor fakat kondenser çıkış sıcaklığı arttıkça COP de azalma eğilimi görünüyor. COP daha düşük kondenser ve jeneratör çıkış sıcaklıklarında daha yüksek fakat kondenser ve jeneratör çıkış sıcaklıkları arttıkça COP zengin çözelti konsantrasyonunun azalmasından dolayı yavaş yavaş azalıyor ve jeneratör ve absorplayıcıda ısı yükü ile dolaşım oranı artıyor.

Nahla vd. (2015), yeni bir çift etkili hibrit absorpsiyonlu soğutma sistemi üzerine enerji ve ekserji analizi yaptılar. Jeneratör sıcaklığındaki artış hem hibrit hem de gerçek sistemlerde COP nin yükselmesine sebep oluyor. Fakat daha yüksek jeneratör sıcaklıklarında COP eğimi düzleşiyor. Hibrit çevrim için daha düşük jeneratör sıcaklıklarında COP nin maksimum değeri oluşuyor. Yoğunlaşma sıcaklığının artışı hibrit sistemin COP sindeki azalışa neden oluyor. Yoğunlaşma sıcaklığı arttıkça ekserji verimi azalmaktadır. Mustapha vd. (2015), lityum bromür-su tek etkili absorpsiyonlu soğutma sisteminin performans analizini gerçekleştirdiler. Çalışmada Matlab programı kullanılarak termodinamik analizler yapıldı. Analiz sonuçları COP si arttıkça evaporatör ve jeneratör sıcaklıklarında artmakta iken absorplayıcı ve kondenser sıcaklıkları arttıkça azalmakta olduğunu gösterdi. Jeneratör sıcaklığı 92°C’de olduğunda sistemin COP si 0.77 maksimum değere ulaştı.

Bhargav vd. (2016), lityum bromür-su absorpsiyonlu soğutma sisteminde ideal performans için jeneratör sıcaklığının termodinamik değerlendirilmesini yaptılar. Analiz sonuçları sistemin minimum jeneratör sıcaklığı absorpsiyonlayıcı ve kondenser sıcaklığını artırırken evaporatör sıcaklığını azalttığını göstermiştir. Ayrıca sistemin COP si jeneratör sıcaklığıyla arttığı ve sistemin ekserji yıkımı artan jeneratör sıcaklığıyla hızlıca arttığı gözlemlenmiştir. İdeal jeneratör sıcaklığı kondenser sıcaklığıyla artarken evaporatör sıcaklığıyla azalmaktadır. Evangelos vd. (2016), güneş absorpsiyonlu soğutma sisteminde lityum klorür su ve lityum bromür su akışkan çiftleri arasında enerji ve ekserji analizi kıyaslaması

yapmışlardır. Çalışmanın amacı güneş absorpsiyonlu soğutma çevrimlerinde geleneksel lityum bromür-su akışkan çiftlerine alternatif yeni bir akışkan çifti oluşturmak. Lityum klorür-su absorpsiyonlu soğutma sisteminde kristalizasyon tehlikesi daha büyüktür. Lityum klorür akışkan çifti tüm durumlarda daha iyi ekserji verimi vermesiyle daha iyi performans sağlamıştır. Sistemin analizinde EES programı kullanılarak termodinamik analizler yapılmıştır.

Wang vd. (2015), yüksek verimli güneş soğutma sistemi için tasarlanmış LiBr-su emme soğutucusunda değişken bir etkinin deneysel değerlendirmesini yapmışlardır. Soğutucu özellikle değişken sıcaklıklı güneş enerjisinin yüksek verimli kullanımı için tasarlanmıştır ve farklı ısı kaynağı sıcaklıklarında optimize edilmiş COP ve soğutma gücünü elde edebilir. Soğutucunun yapısı, dolaşımı ve test sistemi tanıtıldı. Analiz sonuçları COP nin 95°C'den 120°C'ye kadar üretim sıcaklığında 0.69'dan 1.08'e yükseldiğini gösterdi.

Konwar vd. (2015), lityum klorür-su absorpsiyon soğutma sisteminin ekserji analizini yaptılar. H₂O-LiCl ve H₂O-LiBr sistemleri arasındaki performans karşılaştırması da aynı koşullar altında sağlandı. Analiz sonuçları evaporatör sıcaklığıyla COP artarken ekserji verimi azalmaktadır ve toplam sistem tersinmezliği artmaktadır. COP ayrıca düşük kondansatör ve soğurucu sıcaklığında daha fazladır, fakat ekserji verimi daha az olur ve toplam sistem tersinmezliği artar. Bu çelişki, bu analizde bileşen sıcaklığına bağlı olarak değiştiği kabul edilen yoğunlaştırıcının, buharlaştırıcının ve soğurucunun giriş ve çıkışındaki su sıcaklıkları nedeniyle ortaya çıkmıştır.

Jatin vd. (2016), termodinamiğin birinci ve ikinci yasalarını kullanarak lityum klorür-su tek etkili absorpsiyonlu soğutma sisteminin termodinamik analizini yaptılar. Hesaplamalar EES de termodinamik teorilerden yararlanılarak matematik model oluşturuldu. Sistemde maksimum ekserji yıkımı soğurucu ve jeneratörde meydana gelirken en düşük ise pompa ve genişleme valfinden oldu. Lityum bromür su ve lityum klorür su absorpsiyonlu soğutma sistemi arasındaki performansı kıyası eşit çalışma durumlarında değerlendirildi ve lityum klorür-su akışkan çiftinin lityum bromür-su akışkan çiftine göre absorpsiyonlu soğutma sisteminde kullanılması termodinamik açıdan daha iyi performansla sahip olduğunu göstermiştir.

Wei vd. (2014), Zn₂Cl₅/NH₃ akışkan çiftini kullanarak, NaSCN/NH₃ absorpsiyonlu sistemle kıyas yaparak tek etkili absorpsiyonlu sistemin termodinamik performans analizini yaptılar.

Zn_2Cl_5/NH_3 sistemin termal performansı $NaSCN/NH_3$ sisteminden daha iyidir. Yoğunlaştırıcı ve absorpsiyon sıcaklığı düşük ve jeneratör sıcaklığı yüksekken Zn_2Cl_5/NH_3 sisteminin COP si ve ekserji verimi daha yüksektir. Sonuçlar Zn_2Cl_5/NH_3 sisteminin hem soğutma hem de ısıtma uygulamalarında kullanım için uygun olduğunu gösteriyor.

Ochoa vd. (2015), $LiBr/H_2O$ akışkan çiftini kullanarak tek etkili absorpsiyonlu soğutmanın performans analizini gerçekleştirmek için bir dinamik model geliştirdiler. $95^\circ C$ de sistemin COP değeri 0.61. Matlab programı kullanılarak matematiksel model gerçekleştirdiler. Yeni bir absorpsiyonlu soğutma sistemi tasarlanacağında bu modelin kullanışlı olabileceğini önermektedirler. Yang vd. (2016), akışkan çifti olarak Cu_2Cl_5/NH_3 kullanarak absorpsiyonlu soğutma sisteminin termal performansını değerlendirdiler. Sistemin termal performansı NH_3/H_2O akışkan çiftli absorpsiyonlu soğutma sisteminden daha iyidir. Cu_2Cl_5/NH_3 sistemin COP si ve ekserji verimi $LiBr/H_2O$ akışkan çiftinden nispeten daha azdır.

Pilatowsky vd. (2001), yoğunlaştırıcı ve emme sıcaklığı $25^\circ C$ ve $35^\circ C$ arasında olan ve evaporatör sıcaklıkları $-10^\circ C$ ve $10^\circ C$ arasında değişen monometilamin suyu karışımı çalışma sıvısı ile bir absorpsiyonlu soğutma sistemini araştırdılar. Döngü, amonyak-su emme döngüsüne göre önemli bir avantaj olarak sunulan ılımlı basınçlarda çalıştırıldı.

Chekir vd. (2011), tek etkili bir absorpsiyonlu soğutma makinesi çalışmalarında bütan oktan karışımı çalışan bir akışkan kullandı ve desorber sıcaklığı $150^\circ C$ olduğunda 0.36 COP elde etti. Ayrıca daha sonra makine tasarımının bir modifikasyonunu önerdiler, redresör desorbere girmeden önce zayıf çözelti ile soğuttular. Bu oldukça önemsiz modifikasyon, ayırma işlemi için sıcaklık seviyesinin önemli ölçüde azalmasına neden oldu ve COP, 0.59'a yükseldi.

Xu vd. (2013), $110^\circ C-140^\circ C$ ısı kaynağı sıcaklık aralığının, tek etkili su- $LiBr$ emme makinesinin çalışması için çok yüksek olduğunu ve çift etkili makinenin çalışması için düşük olduğunu belirtti. Bu nedenle, bir dizi üç jeneratör ve $85^\circ C$ ila $150^\circ C$ arasında değişen ısı kaynağı sıcaklıkları ile çalışan bir yüksek basınç absorber içeren değişken bir etki döngüsü önerdiler, bu da 0,75 ila 1,25 arasında COP değerlerine neden oldu.

Sirwan vd. (2013), kondenser arasına bir flaş tankı eklendiğini gösterdiler ve bir ejektör absorpsiyonlu soğutma makinesinin buharlaştırıcısı, üretilen soğutma etkisinin arttırılmasına katkıda bulunabilir. Sozen vd. (2004), güneş enerjili ejektör emme sistemleri kullanma olasılığını araştırdı ve bu teknolojinin Türkiye'de soğutma uygulamalarında yılda 8-9 ay

boyunca etkili bir şekilde kullanılabilceđi sonucuna varıldı.

Sencan vd. (2005), sođutma veya ısıtma modlarında kullanılan bir su-LiBr emme makinesinin ekserji analizini gerekleřtirmiş ve emme ve desorberin ekserji kayıplarının ođunu yođunlařtırdıđını gözlemlemiřtir. Ayrıca, ısı kaynađı sıcaklıđı arttıđında, COP nin biraz arttıđını, ancak ekserji verimliliđinin kötüleřtiđini de not ettiler. Yari ve diđ. (2011), bir jeneratör absorber ısı eřanjörü (GAX) emme sođutma makinesi üzerinde parametrik bir alıřma yürütmüş ve desorber sıcaklıđı 400 ile 440 K arasında deđiřtiđinde, ekserji verimliliđinin yaklaşık %75 arttıđını, COP nin ise sadece %5 arttıđını gözlemlemiřtir. Desorber ve absorber, tek bir birim olarak simüle edildi ve arařtırılan ısı kaynađı sıcaklık deđiřim aralıđının üst ucundaki döngünün toplam ekserji yıkımının yaklaşık %65'ine katkıda bulundu.

Klasik enerji analizi, ana enerji kaybının sistemde nerede gerekleřtiđi ve sistem enerji verimliliđini artırmak için hangi komponentin en önemli olduđu konusunda bilgi sađlayamaz. Öte yandan, ekserji analizi, tersinmezlik kaybının nerede ve nasıl gerekleřtiđini ve nasıl iyileřtirileceđini gösterecektir. Bir termodinamik sistemin ekserji incelemesi için iki yöntem vardır: geleneksel ve ileri ekserji analizi. İlki için birok alıřma yapılmıřtır ancak ikincisi için sınırlı alıřma bulunmaktadır.

Mohammadi (2019), yeniden sıkıřtırma süper kritik CO2 döngüsünün ileri ekserji analizini gerekleřtirdiler. Toplam kaçınılabilir ekserji yıkım oranına dayanarak, sistemin maksimum iyileřtirme potansiyeli 106.855 MW'tır (toplam ekserji tahribatının yaklaşık% 50'si) ve bu kaçınılabilir deđerin % 34,59'u içsel ve % 65,41'i dıřsaldır. Ayrıca, genel sistem performansını iyileřtirmek için, geleneksel ekserji analizi tarafından elde edilen komponentlerin öncelik sırasının, ileri ekserji analizi ile elde edilenden farklı olduđu ortaya ıkmıřtır. Sonular ayrıca, reaktörün en yüksek ekserji yıkımına rađmen en az gelişme potansiyeline sahip olduđunu göstermektedir.

Zhao vd. (2019), R290'lı ev tipi bir buzdolabı için paralel ve seri sıkıřtırma ejeksiyonlu hibrit sođutma sisteminin geleneksel ve gelişmiş ekserji analizini yaptılar. İleri ekserji analizinden elde edilen sonular kompresörün kaçınılabilir ekserji yıkım oranının en büyük olduđu gözlenmiřtir ve paralel sistem için bu oran %42,76 ve seri sistem için %41,28 olarak bulunmuřtur. Kompresör ve ejektörün içsel kaçınılabilir ekserji yıkım oranları, her iki

sistemdeki dışsal kısımdan daha büyüktür ve bu da kendi verimlerini geliştirmelerinin en önemli olduğunu göstermektedir.

Liu vd. (2019), yeni bir transkritik sıkıştırılmış karbondioksit enerji depolama sisteminin geleneksel ve gelişmiş ekserji analizini yapmışlardır. Sonuçlar, komponentler arasındaki etkileşimlerin karmaşık olduğunu göstermektedir. İlk kompresör, toplam kaçınılabılır ekserji yıkımının %22.55'lik kısmını ve toplam ekserji yıkımının % 11.91'ini oluşturması nedeniyle en yüksek gelişme potansiyeline sahip komponenttir.

Morosuk vd. (2009), farklı çalışma sıvılarını (R125, R134a, R22, R500, R407C and R717) kullanarak buhar sıkıştırılmalı soğutma makinelerinin ileri ekserji analizini gerçekleştirmişlerdir. Kullandıkları sıvıların ileri ekserji analizindeki etkilerini incelemek için yalnızca bu çalışmayı yapmışlardır çünkü kullandıkları çalışma sıvılarından bazıları ileride kullanım için elverişli değildir.

Petrakopoulou vd. (2012), geleneksel ve ileri ekserji analizi kullanarak kombine çevrim enerji santralının analizini değerlendirmişlerdir. Kombine çevrim enerji santralının ekserji yıkımının çoğu kaçınılamaz ekserji yıkımı olduğunu belirlemişlerdir. En yüksek ekserji yıkımı kompresörde meydana gelmiştir. Bu komponentin içsel ekserji yıkımının yüzde oranı yaklaşık olarak %87, kaçınılamaz ekserji yıkım oranı %68 olduğunu hesaplamışlardır.

Morosuk vd. (2012), bir Voorhee'nin sıkıştırma işlemi kullanılarak bir soğutma makinesinin geleneksel ekserji analizi ve ileri ekserji analizini gerçekleştirmişlerdir. Voorhees'in sıkıştırma işlemini kullanan bir soğutma sistemine ileri ekserjetik analiz yöntemi kullanmıştır. Geleneksel ekserji analiz sonuçları kondansatörün en büyük ekserji yıkımına sahip olduğundan dolayı önemli bir komponent olduğunu göstermesine rağmen, evaporatörün en yüksek kaçınılabılır ekserji yıkımına sahip olması öne çıkmaktadır.

Bai vd. (2016), geleneksel ve ileri ekserji analiz yöntemlerini kullanarak modifiye ejektörlü otomatik kaskadlı dondurucu sistemi üzerine teorik bir araştırma yapmışlardır En yüksek gelişme potansiyeline sahip komponentlerin sırasıyla kompresör, kondansatör, evaporatör ve ejektör olduğunu gözlemlədiler.

Chen vd. (2015), R245fa için geleneksel ve ileri ekserji analiz yöntemleri yardımıyla ejektör

soğutma çevriminin kapsamlı bir çalışmasını gerçekleştirmiştir. Her bir komponentin içsel-dışsal ve kaçınılabılır-kaçınılamaz ekserji yıkımını belirlediler. Ejektör, kondenser ve jeneratörün sırasıyla en yüksek gelişme potansiyeline sahip olduğunu buldular.

Gong vd. (2014), absorpsiyonlu soğutma sistemi için ileri ekserji metodunu kullanarak parametrik bir çalışma yaptılar. Ekserji yıkımının çoğu, desorber ve absorber komponentlerinde meydana gelmiştir. Bu komponentlerin ekserji yıkımları içseldir. Yani, komponentlerin ekserji yıkımları içsel tersinmezliklerinden kaynaklanmıştır.

Erbay vd. (2014), gıda kurutmada kullanılan bir toprak kaynaklı ısı pompası (GSHP) kurutucusu için ileri ekserji analizi gerçekleştirmiştir. Çevrimdeki tersinmezliklerin detaylı analizini belirlemek için içsel-dışsal ve kaçınılabılır-kaçınılamaz ekserji yıkım seviyeleri hesaplanmıştır. Sonuçlar, en önemli komponentin kondenser olduğunu göstermiştir. Tüm sistem için tersinmezliklerin kaçınılabılır kısmının daha baskın olduğu gözlenmiştir. Ayrıca, kondenser ve evaporatör dışındaki diğer sistem komponentlerinin tersinmezlikleri temel olarak içsel çalışma koşullarından etkilenir.

Chen (2017), ejektör soğutma sisteminin R600, R600a, R601a, R1233zd ve R1234ze çalışma akışkanları ile geleneksel ekserji ve ileri ekserji analizini değerlendirmişlerdir. Bu akışkanların sistemdeki performans ve çalışma özellikleri karşılaştırılmıştır. Ejektör verimlerinin sistem performansı üzerinde önemli bir etkisi vardır çünkü ejektör verimliliğindeki 0.1 artış, sistem ekserji verimliliğinin % 1.38'den % 10.33'e yükselmesine neden olabilir. Kapsamlı karşılaştırmalarla, R1233zd genel olarak diğer dört adaydan daha yüksek sistem performansına sahiptir, bu nedenle ejektör soğutma sistemi için iyi çalışma sıvısı olarak önerilir.

Hepbasli (2017), buz pateni pisti soğutma sisteminin gelişmiş eksergoekonomik analiz yöntemi ile performans değerlendirmesini yapmışlardır. Buz pateni pisti soğutma sistemi 300 kW soğutma yüküne sahiptir ve soğutucu olarak amonyak seçilmiştir. Sistemin toplam ekserji yıkımının %47,15'inin kaçınılabılır olduğu, sistemin toplam ekserji yıkımının %22,89'unun dışsal olduğu tespit edilmiştir. %18'lik içsel mevcut ekserji yıkım yatırım maliyeti oranına sahip evaporatör ve %64,3'lik içsel mevcut ekserji yıkım maliyet oranına sahip kondenser, buz pateni soğutma sistemindeki en önemli iki komponenttir.

Ahmadi (2019), termodinamik ve termo-ekonomik bakış açısıyla yeni güneş kaynaklı kombine soğutma, ısıtma ve güç (CCHP) sistemi önerilmiş ve değerlendirilmiştir. Güneş enerjili bir trijenerasyon enerji sisteminin ileri ekserji, eksergo-ekonomik ve eksergo-çevresel analizlerini gerçekleştirmişlerdir. Ayrıca, ileri ekserji analizinin sonuçları, 7.3 kW'lık içsel ekserji yıkım oranının 5.26 kW'lık kısmının kaçınılmaz olduğunu göstermektedir. Depolama tankının en büyük ekserji yıkım oranına ve eksergo-ekonomik analizlere dayanarak en yüksek ekserji yıkım maliyetine sahiptir. Türbin, en büyük kaçınılabılır ve kaçınılmaz içsel yatırım maliyeti oranlarına sahiptir.

Soğutma sistemleri ve güç çevrimleri ile ilgili birçok enerji ve geleneksel ekserji analizi yapılmıştır. Fakat ileri ekserji analizi son yıllarda gelişmiştir. Geliştirme potansiyellerini belirlemek ve komponentler arasındaki ilişkiyi belirlemek için geleneksel ekserji analizi yeterli değildir bu yüzden ileri ekserji analizine gerek duyulmuştur. Soğutma sistemleriyle ilgili olarak buhar sıkıştırma, ejektör ve absorpsiyonlu soğutma sistemiyle alakalı literatürde ileri ekserjiyle ilgili sınırlı çalışma vardır. Ülkemizde de absorpsiyonlu soğutmanın ileri ekserji analizini içeren herhangi bir tez çalışması bulunmamaktadır. Bu çalışmada buhar sıkıştırma güneş enerjisi kaynaklı bir absorpsiyonlu soğutma sisteminin geleneksel ve ileri ekserji analizi gerçekleştirilmiştir. Evaporatör, kondenser, absorber ve jeneratör sıcaklıklarının COP, ekserji verimi ve ekserji yıkımı üzerindeki etkisi araştırılmıştır. Bunun yanında ileri ekserji analizi gerçekleştirilerek her bir komponentin geliştirme potansiyeli ve sistem komponentleri arasındaki ilişki incelenmiştir. İleri ekserji analizi kaçınılmaz-kaçınılabılır, içsel-dışsal kısımlar olmak üzere iki kısma ayrılmıştır. Bu çalışmada, absorpsiyonlu soğutma sisteminde akışkan çifti olarak amonyak-su çifti seçilmiştir.

1.3. Enerji

Enerjinin tanımını sistemin iş yapabilme gücü olarak yapılabilir. Dolayısıyla sistemlerin (canlıların) çalışmalarında enerjiye gereksinim duymaktadırlar. Oluşumlarına ve dönüşümlerine göre enerjiyi farklı başlıklar altında gruplara ayırabiliriz. Enerjiye dönüşümlerine göre birincil ve ikincil enerji kaynakları olmak üzere ikiye ayrılır (Köse, 2002). Birincil enerjiler taş kömürü, linyit, ham petrol, doğalgaz, hidrolik, jeotermal, güneş olup dönüşüm geçirerek kullanılmaktadır. Oluşumlarına göre enerji kaynaklarının sınıflandırılması geleneksel (yenilenemeyen) ve yenilenebilir enerji olarak ayrılmaktadır.

1.3.1 Küresel Enerji Problemleri

Sanayileşme, teknolojik gelişmeler, nüfus artışı gibi faktörlerden dolayı günümüzde enerjiye olan talep artmaktadır. Bu sebeplerden dolayı enerji tüm dünyada en önemli problem olarak görülmektedir. Enerji problemi artık yerel olmaktan çıkarak global bir sorun haline gelip uluslararası politikaları yönlendirmeye başlamıştır. Günümüzde kullanılmakta olan enerjinin yaklaşık %90'ını geleneksel enerji kaynakları (yenilenemeyen) dediğimiz fosil kaynaklı enerji grubu oluşturmaktadır. Kömür, petrol, doğalgaz, uranyum (nükleer enerji) gibi fosil kaynaklı enerjiler yenilenebilir enerji kaynakları gibi temiz ve tükenmez enerji kaynakları değildir. Bu kaynaklar bir gün elbette tükeneceği bilinmektedir. Günümüzde fosil kaynaklı enerjiyle çalışan bu kadar çok teknolojik uygulamalar varken bu enerji kaynaklarının bir gün tükeneceği düşünüldüğünde ülkeler bu krizden başta ekonomik olarak çok etkileneceklerdir. Küresel enerji sorununun ekonomik etkilerinin yanında çevreye verdiği zararlardan dolayı da çevresel problemlere neden olmaktadır. Günümüzde yaşanan çevresel kirlenmenin birçoğu fosil yakıtlardan kaynaklanmaktadır. Fosil yakıtların kullanımı sonucu çıkan zararlı gazlar hem insan sağlığına zarar verirken hem de çevre kirliliğine yol açmaktadır. Bu çevresel kirlilik kendini küresel ısınma adını verdiğimiz suların ısınarak kirlenmesi, asit yağmurlarının görülmesi, ozon tabakasının delinmesi, sera gazı etkisi gibi başlıca çevresel problemler altında karşımıza çıkmaktadır.

1.3.2 Yenilenebilir Enerji Kaynakları

Geleneksel fosil kaynaklı enerji grubunda yaşanan zaman zaman sıkıntılar (petrol krizleri, karbon emisyonları, ülkelerin enerjide dışa bağımlılığı, çevresel ve politik sorunlar) sebebiyle bilim adamları bu yenilenemeyen enerji grubuna alternatif olacak yeni enerji kaynakları arayışına yönelmişleridir. Bu enerji kaynakları güneş, rüzgar, jeotermal, hidrolik, hidrojen, biyokütle ve dalga enerjileri gibi doğada sonsuz kaynaklı(tükenmez) olarak bulunup temiz, güvenilir yenilenebilir enerji (kendini yenileyebilir) kaynaklarıdır.

1.3.2.1 Rüzgar Enerjisi

Enerjisini güneşten alan ısı potansiyel farklara sahip hava kütlelerinin, soğuk ve yüksek basınç noktalarından sıcak ve alçak basınç noktalarına hareket etmeleri sonucu ısı enerjisinin kinetik enerjiye dönüştüğü hava hareketine rüzgar adı verilir (Özgener 2002). Rüzgar

enerjisi, rüzgar türbinleri yardımıyla hareket halindeki havanın kinetik enerjisinin elektrik üretimi için kullanılmasıdır.

1.3.2.2 Jeotermal Enerji

Yerküre içindeki içsel enerjinin yeryüzüne yakın derinliklerde sıcak su veya buharın kendiliğinden ortaya çıkması veya sondaj çalışmasıyla ortaya çıkarılmasıdır. Jeotermal kaynaklardan elektrik üretimi ve ısı üretimi olarak yararlanılmaktadır. Elde edilen ısı konutların ısıtılması, sera ısıtılması ve kaplıca turizminde kullanılmaktadır.

1.3.2.3 Hidrolik Enerjisi

Suyun potansiyel enerjisinin kinetik enerjiye dönüşümü sonucu elde edilir. Barajlarda biriken suların yükseltisinden dolayı bir potansiyel enerjiye sahip olur. Barajlarda depo edilen suyun türbinlerden geçerek bünyesinde var olan potansiyel enerjisini kinetik enerjiye dönüştürmüş olur. Böylece suyun hidrolik gücünden elektrik üretimi elde edilmiş olur.

1.3.2.4 Hidrojen Enerjisi

Hidrojen renksiz kokusuz olup doğada serbest halde bulunmamaktadır. Genellikle bileşik halinde su olarak en çok bulunur. Hidrojen evrenin temel enerji kaynağı olup evrendeki yıldızların termonükleer tepkimeye vermiş oldukları ısının yakıtıdır. Hidrojenden enerji sağlanırken su, fosil yakıtlar ve biyokütle gibi çeşitli enerji kaynaklarından yararlanılmaktadır. Hidrojenden enerji elde edilmesi sonucu sera etkisini artıracak zararlı gazlar çevreye salınmaz.

1.3.2.5 Dalga Enerjisi

Deniz veya okyanuslarda gerek rüzgar gerekse med-cezir gibi olaylardan dolayı oluşan sudaki salınım hareketlerine karşılık vermek için dalgaya karşı yapılar oluşturulur. Bu yapılarla dalgaların önü kesilerek dalgalardan mekanik enerji üretilmiş olunur. Böylece dalgalardan oluşan mekanik enerji elektrik üretiminde kullanılır.

1.3.2.6 Biyokütle Enerjisi

Biyokütle enerji kaynakları bitkisel (tarım ve orman atıkları ve kalıntıları) veya kanalizasyon atıkları, şehir çöplerinden oluşan katı atıklar ve çiftlik hayvan gübreleri gibi işlemden geçmiş karbon içeren çok geniş bir yenilenebilir enerji kaynağıdır. Biyokütleden enerji üretimi biyokütlenin yakılmasıyla, sıvı biyo yakıt üretimi ve biyogaz üretimiyle gerçekleşmektedir.

1.3.2.7 Güneş Enerjisi

Güneş enerjisi temiz, tükenmez ve bereketli bir yenilenebilir enerji kaynağıdır. Güneş enerjisi rüzgar, dalga ve hidroelektrik gibi birçok enerji kaynağının temelini oluşturmaktadır. Güneşten gezegenimize yılda yaklaşık 173 milyar MW lık enerji gelmektedir. Fakat güneşten gelen bu enerjinin bir kısmı yansiyarak uzaya geri dönerken bir kısmı ise atmosfer tarafından soğurulmaktadır. Bu yüzden yeryüzünde bir kısmı soğurulmaktadır. Güneş enerjisini fotovoltaik (aynalar, yoğunlaştırıcılar ve fotovoltaik hücreler) uygulamalarla elektrik enerjisinden yararlanırken güneş enerji toplayıcı (kolektör) uygulamalarla da ısı yönünden yararlanılmaktadır.

1.4 Absorpsiyonlu Soğutma Sistemleri

Absorpsiyon prensibi ilk defa Michael Faraday tarafından amonyağı yoğunlaştırma çalışmaları sırasında keşfedilmiştir. Bir soğutma çevrimi olarak uygulanması daha sonra gerçekleşmiştir. Absorpsiyonlu soğutma uygulamaları mekanik soğutma uygulamalarına göre maliyet bakımından güneş enerjisi, jeotermal enerji ve atık ısı gibi düşük ısı kaynakları kullanarak ekonomik bakımdan kullanışlı teknolojik uygulamalardır. Bu çevrimlerde soğutucu akışkanın bir ikinci akışkan içinde absorberde soğurulduğu bir absorbe işlemidir. Bu sistemleri buhar sıkıştırırmalı soğutma çevrimleriyle kıyaslırsak kompresörün yerini farklı sistem almıştır ve bu sistem aynı çalışma prensibiyle soğutucu akışkanın basıncını artırır. Bu sistemlerin kompresör kullanılmaması sebebiyle sahip olduğu avantajlar vardır. Bu avantajlar arasında sistemin daha sessiz olması, daha az bakım gerektirmesi ve pompaya verilen küçük bir enerji dışında ek bir enerji gerektirmemesidir. Bu avantajlara ek olarak absorpsiyonlu soğutma sistemlerinin önemli bir üstünlüğü ise çevriminde buhar yerine sıvı sıkıştırılmaktadır. Absorpsiyonlu soğutma uygulamalarında gerekli olan iş çok küçüktür. Ayrıca çevrim için dış kaynaktan ısıya ihtiyaç duyulmaktadır. Çevrimin birinci yasa

termodinamik çözümlenmesi yapılırken iş ihmal edilir, bunun sebebi ısıtıcıda çevrime sağlanan ısıdan çok küçüktür. Buhar sıkıştırılmalı mekanik sistemlerde çevrimi çalıştıran enerji elektrikten; absorpsiyonlu soğutma uygulamalarında ısıdır. Absorpsiyonlu soğutma sistemlerinin hacimlerinin büyük olması, kompleks ve maliyetli olması ise bu sistemlerin dezavantajlarıdır. Ancak maliyeti düşük bir ısı kaynağı (100°C-200°C) kullanıldığı zaman ekonomik olabilmektedir. Absorpsiyonlu soğutma teknolojilerinin endüstri uygulamalarında kullanıldığı görülmektedir.

1.5 Absorpsiyonlu Soğutma Sistemi Türleri

Absorpsiyonlu soğutma sistemleri kullanıldığı yere ve koşullara göre çeşitlilik göstermektedir. Bunlar; tek etkili absorpsiyonlu soğutma sistemi, çift etkili absorpsiyonlu soğutma sistemi, absorpsiyonlu ısı yükselticileri, çok kademeli absorpsiyonlu soğutma sistemi, GAX'lı absorpsiyonlu soğutma çevrimi, GAX'lı absorpsiyonlu soğutma çevrimi, yarım kademeli absorpsiyonlu soğutma çevrimi, kombine buhar absorpsiyon sıkıştırma çevrimi, sorpsiyon-resorpsiyon çevrimi, çift döngülü absorpsiyonlu soğutma sistemi, kombine ejektör-absorpsiyonlu soğutma döngüsü, ozmotik-membran absorpsiyon çevrimi, difüzyon absorpsiyonlu soğutma çevrimi

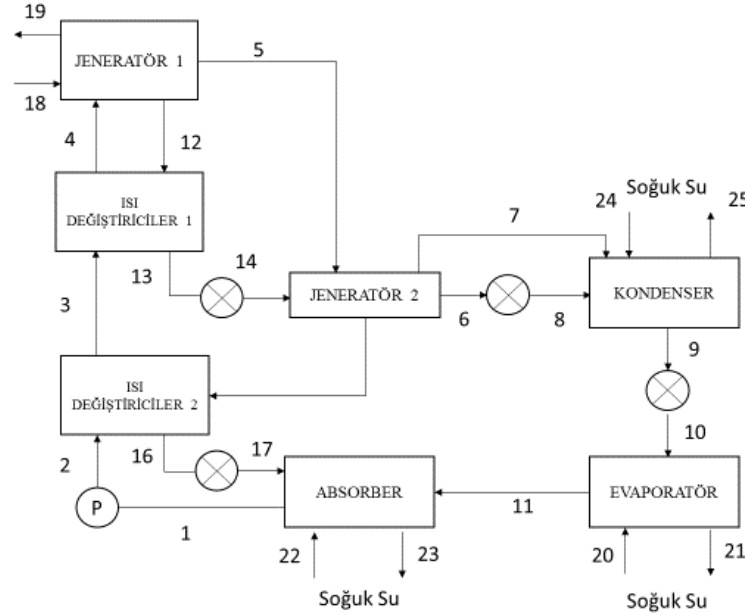
1.5.1 Tek Etkili Absorpsiyonlu Soğutma Sistemi

Bu çevrimlerde tek jeneratör kullanıldığı için sisteme tek jeneratörlü denilmektedir. Tek etkili absorpsiyonlu soğutma sistemleri genellikle atık buhar, sıcak su gibi düşük ısılı işletmelerin bulunduğu çevrimler için uygulanmaktadır. Bu sistemlerde düşük enerji kullanıldığından dolayı içsel ayrıştırma ve sıkıştırma işlemleri tek bir jeneratörle gerçekleştirilir. Düşük enerji kullanıldığından sistemin performans katsayısı küçük olmaktadır.

1.5.2 Çift Etkili Absorpsiyonlu Soğutma Sistemi

Çift etkili absorpsiyonlu soğutma sistemleri tek etkili absorpsiyonlu soğutma sistemlerine göre daha yüksek basınç ve sıcaklık aralığında çalışmaktadır. Bu sebepten dolayı çevrimde iki jeneratör kullanılmaktadır. İki jeneratör kullanılmasından dolayı çift etkili absorpsiyonlu soğutma adını almıştır. Çift etkili absorpsiyonlu soğutma sistemlerinde iki jeneratör

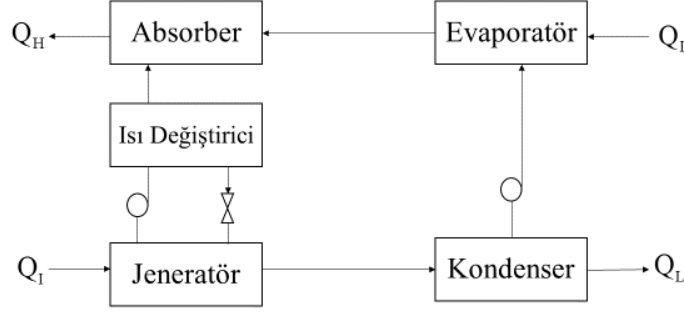
kullanımıyla soğutma gücünün artırılarak etkinlik katsayısının iyileştirilmesi amaçlanmıştır. Çift etkili absorpsiyonlu soğutma sisteminde çevrim üç farklı basınç (yüksek basınç, orta basınç ve düşük basınç) aralığında çalışmaktadır. Sistem elemanlarını iki jeneratör, kondenser, evaporatör, absorber ve iki ısı değiştirici sistem elemanlarını oluşturmaktadır. Şekil 2' de çevrimde birinci jeneratör yüksek basınçta, ikinci jeneratör ve kondenser orta basınçta çalışırken, evaporatör ve absorber ise düşük basınçta çalışmaktadır.



Şekil 1.1 Çift Etkili Absorpsiyonlu Soğutma Sistemi

1.5.3 Absorpsiyonlu Isı Yükselticileri

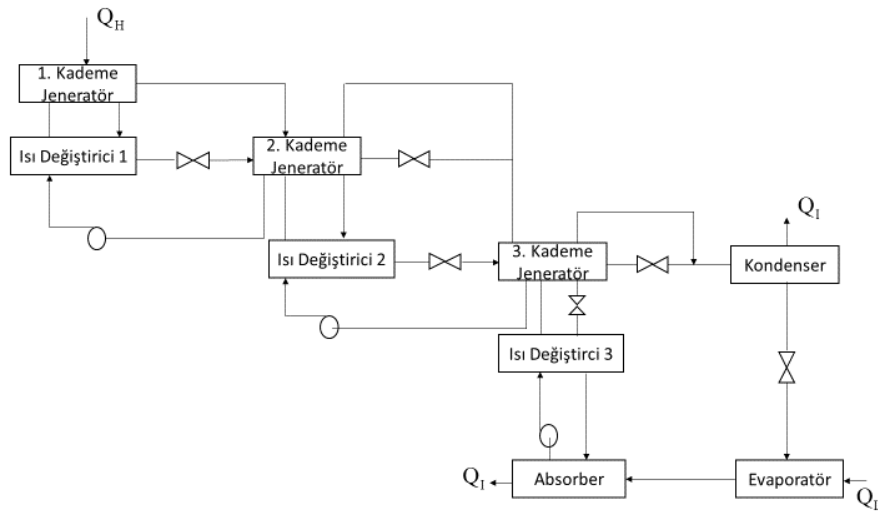
Absorpsiyonlu ısı yükselticileri tek etkili absorpsiyonlu soğutma çevrimine benzer elemanlara sahiptir fakat bu çevrimde kondenserle evaporatör arasında genleşme valfi yerine pompa yer alması çevrimi tek etkili absorpsiyonlu çevrimden farklı kılmıştır. Absorpsiyonlu ısı yükselticilerinde sistem tek etkili absorpsiyonlu soğutma çevrimindeki sistemle aynı çalışma prensibiyle çalışmaktadır



Şekil 1.2 Absorbsiyonlu Isı Yükselticileri

1.5.4 Çok Kademeli Absorbsiyonlu Soğutma Sistemi

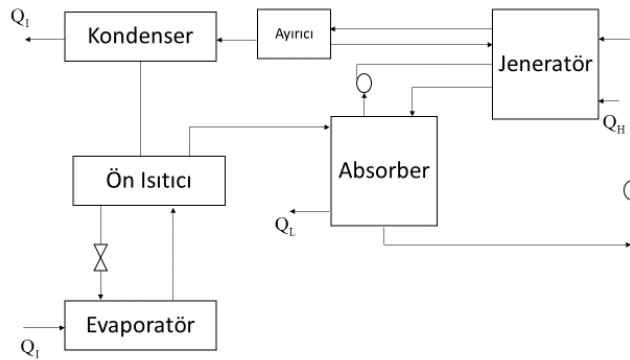
Çok kademeli absorpsiyonlu soğutma sistemleri yüksek sıcaklıktaki ısı kaynaklarını kullanarak sistemin performansını artırmaktır. Çok kademeli absorpsiyonlu soğutma sistemlerinde amaç yüksek sıcaklıktaki bir kademeden dışarı verilen ısıyı düşük sıcaklıktaki bir kademede ısı girdisi olarak kullanabilmektir. Çok kademeli absorpsiyonlu soğutma sistemlerinin çift kademeli, üç kademeli ve dört kademeli absorpsiyon çevrimi gibi farklı tipleri mevcuttur. Ayrıca burada dikkat çeken konu soğutma tesir katsayısının artmasıyla kademe artışının orantılı olmadığıdır ve kademe sayısının artması ile soğutma katsayısının, tek kademeli çevrimin soğutma katsayısı kadar yüksek olmayacağı çıkan sonuçtur. Ayrıca kademe sayısının artmasıyla orantılı olarak sistemin karmaşıklığı da artmaktadır. Bu sebepten çok kademeli absorpsiyonlu soğutma sistemlerinde çift kademeli çevrimleri ekonomik açıdan en elverişlidir.



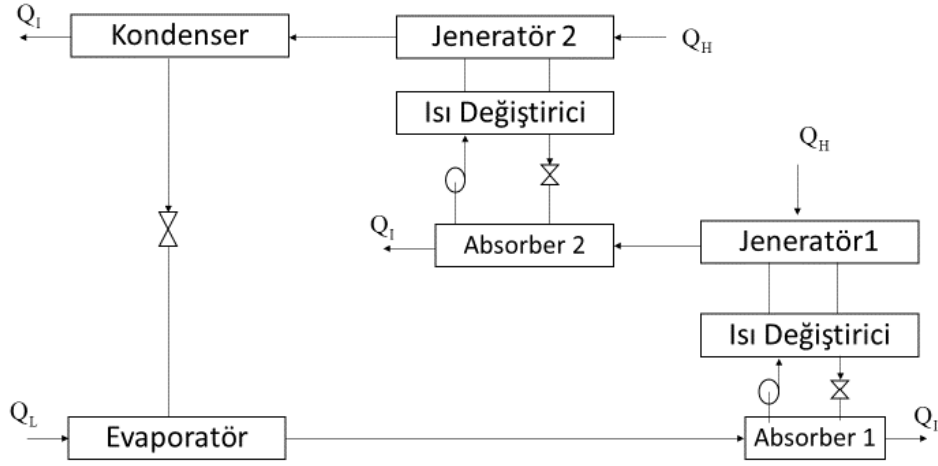
Şekil 1.3 Çok Kademeli Absorbsiyonlu Soğutma Sistemi

1.5.5 GAX'lı Absorbsiyonlu Soğutma Çevrimi

GAX (Generator Absorber Heat Exchanger) jeneratör absorber ısı deęiřtiricisi fikri ilk kez 1911 yılında Altenkirch ve Tenchkoff tarafından atılmıřtır (Çelik, 2007). Sistemin çevrimi birbirine paralel olarak çalıřan iki tek kademeli döęüden oluřmaktadır. Aslında iki ařamalı çift kademeli döęüyü basitleřtirmiş olur. Döęüde absorber ve jeneratör ters akıřlı ısı jeneratörü gibi düşünebiliriz. Absorberde jeneratörden gelen zayıf soęutucu çözeltili ie evaporatörden gelen buhar fazındaki soęutucu akıřkan üst kısımdan girilmektedir. Burada absorpsiyon iřlemi sırasında ısı oluřmaktadır ve üretilen bu yüksek sıcaklıktaki ısı üst kısımdan dıřarı verilerek uzaklařtırılır böylece soęutucu buharının emme kabiliyeti korunmuř olur. Jeneratörden gelen zayıf soęutucu çözeltili buharı emildikten sonra çevreye ısı vererek soęumuř olur ve jeneratöre doęru güçlü soęutucu çözeltili olarak ilerler. Jeneratörde absorberin üst kısmından dıřarı verilen ısı ile ısıtılarak biraz daha kurutulmuř olur. Absorber ve jeneratör arasındaki ısı transferinin gerçekteřebilmesi için ek bir ikincil sıvı bulunmaktadır. Tek kademeli bir absorpsiyonlu sistemin jeneratör absorber ısı deęiřtiricisi (GAX) kullanılarak, iki ařamalı çift kademeli absorpsiyon sisteminin soęutma performansı kadar bir performans yakalanabilir.



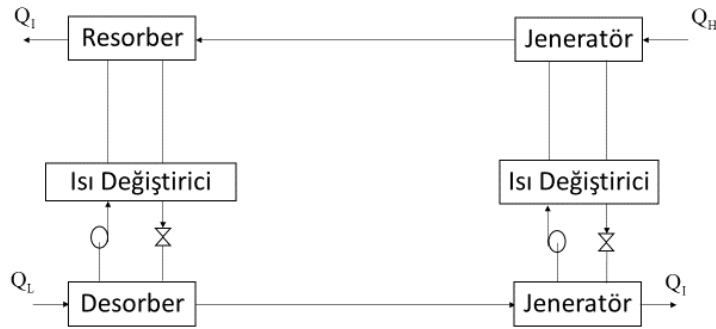
řekil 1.4 GAX'lı Absorbsiyonlu Soęutma Çevrimi



Şekil 1.6 Yarım Kademeli Absorbsiyonlu Soğutma Çevrimi

1.5.8 Sorpsiyon-Resorpsiyon Çevrimi

Sorpsiyon-resorpsiyon çevrimi ilk kez Altenkirch tarafından 1913 yılında öne sürülmüştür. Sorpsiyon-resorpsiyon çevriminde iki solüsyon devresi yer alır.



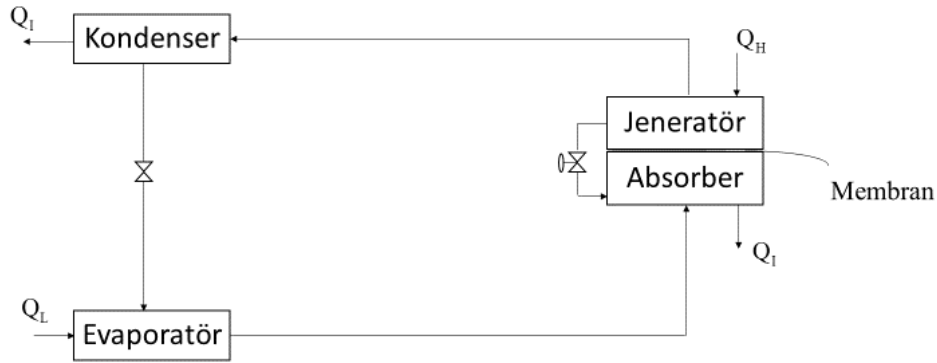
Şekil 1.7 Kombine Buhar Absorbsiyon Sıkıştırma Çevrimi

1.5.9 Kombine Ejektör-Absorbsiyonlu Soğutma Döngüsü

Absorpsiyonlu soğutma sisteminde soğutma tesir katsayısını artırmak için ejektör kullanılmaktadır. Kombine ejektör-absorpsiyonlu soğutma sistemi çift etkili absorpsiyon sisteminde olduğu gibi iki kademeli kademe jeneratör kullanılmaktadır. Sistemin soğutma performansı tek etkili absorpsiyonlu soğutma sistemine göre daha yüksektir. Bunun sebebi buhar soğutucunun bir kısmının bir soğutma etkisi meydana getirmeden doğrudan absorbere girmesidir.

1.5.10 Ozmotik-Membran Absorbsiyon Çevrimi

Absorber ve jeneratör arasındaki ozmotik membran zengin soğutucu çözelti ile fakir soğutucu çözeltiyi birbirinden ayırmaktadır. Sistemde kullanılan membranın ozmotik olması sadece bir soğurucunun geçmesine olanak veriyor. Bu sayede ozmotik membran mekanik bir pompa işlevi görerekten absorberden çıkan soğutucuyu difüze ederek jeneratöre gönderir.



Şekil 1.8 Ozmotik-Membran Absorbsiyon Çevrimi

1.6 Soğutucu Soğutma Sistemleri için Çalışma Sıvısı

Absorpsiyonlu soğutma sistemlerinde sistemin performansının belirlenmesinde akışkan çiftlerinin seçimi çok önemlidir. Akışkan çiftlerinin kimyasal ve termodinamik özellikleri bu önemi belirlemektedir. Çevri karışımın kimyasal olarak toksik olmayan, stabil ve patlayıcı özellikte olmamalıdır. Bunlara ek olarak kaynama derecesinin büyük olması gerekir, soğutucu akışkanın absorber içinde yüksek konsantrasyona ve buharlaşma ısısına sahiptir. Absorbent madde ve soğutucu akışkanın aşındırıcı çevre dostu ve düşük maliyetli olmalıdır. Termal iletkenlik, viskozite ve difüzyon katsayısı gibi ısı ve kütle transferini etkileyen taşıma özelliklerinin uygun olması gerekir. Çalışmalarda birçok akışkan çiftleri kullanılmaktadır. Literatürde takriben 40 soğutucu akışkan bileşiği ve 200 absorber bileşik olduğu bilinmektedir (Marcriss, 1988). Absorpsiyonlu soğutma sistemlerinde en yaygın akışkan çifti olarak lityum bromür-su ve amonyak-su akışkan çiftleri kullanılmaktadır. Amonyak bünyesinde sahip olduğu yüksek duyulur bir buharlaşma ısısına sahip olup çevrimin verimli çalışmasında etkilidir. Amonyakın donma noktasının $-77\text{ }^{\circ}\text{C}$ olmasından dolayı düşük sıcaklıkta avantaja sahiptir. Amonyak-su akışkan çifti ekonomik olup aynı zamanda çevre dostudur.

1.7 Absorpsiyonlu Soğutma Sistemlerine Ait Temel Elemanlar

Absorpsiyonlu soğutma sistemlerinde sekiz eleman kullanılmıştır. Bunlar; Jeneratör, kondenser, genişleme valfi 1 ve 2, evaporatör, absorber, ısı değiştirici ve pompadır.

1.7.1 Jeneratör

Jeneratör çevrimde soğutucu akışkanı tekrar kullanılmasında görev alarak sistemin çalışmasında sürekliliği sağlar. Jeneratörün yapısı iç içe geçmiş iki borudan oluşmaktadır ve çözelti karışımı iç kısmındaki boru içerisinde dolaşmaktadır. Jeneratörün dış kısmında ise ısı kaynağı bulunur. Bu ısı kaynağı sıcak buhar, yağ veya yanma gazlarıdır. Isı değiştiricisinden gelen zengin eriyiğe ısı kaynağından ısı verilerek amonyak-su akışkan çiftindeki amonyağın saf amonyak kızgın buharı (soğutucu akışkan) olarak ayrılması sağlanır. Daha sonra ısı değiştiriciye doğru zayıf eriyik absorbere döner. Jeneratörden çevreye bir miktar ısı geçişi olmaktadır. Ancak bu ısı geçişi ihmal edilir.

1.7.2 Kondenser (Yoğuşturucu)

Jeneratörden gelen saf amonyak kızgın buharının ısını vererek sıvı hale geldiği elemandır. Kondenser çevreden aldığı soğuk suyu borularda dolaştırarak soğutucu akışkan kızgın buharı yoğuşma gizli ısını bırakarak sıvı fazına geçip kondenser tabanında birikmiş olur.

1.7.3 Evaporatör (Buharlaştırıcı)

Düşük basınçta bulunan sıvı fazındaki amonyağın çevresinden ısı çekerek akışkanın kızgın buhar fazına geçtiği elemandır. Bu işlem evaporatörde bulunan boru demetlerinde gerçekleşir. Soğutucu akışkanın amacı boru demeti içerisinde dolaştırılan suyun soğuması için kullanılır. Böylece burada soğutma işlemi gerçekleşmiş olur.

1.7.4 Absorber

Jeneratörden gelen amonyakça zayıf çözeltinin soğutucu akışkanda çözünmesini sağlayan elemandır. Absorbere gelen güçlü çözelti (absorbent madde) ile karşılaşarak soğurulmasıdır.

1.7.5 Çözelti Pompası

Absorpsiyonlu soğutma sistemlerinde kompresörün eksikliğini gidermek için pompa kullanılmaktadır. Çevrimde pompa kullanılmasında ki amaç absorberden çıkan eriyiğin basıncını yükselterek jeneratöre doğru göndermektir. Bu işlemi yaparken de çok düşük bir iş harcanır.

1.7.6 Isı Değiştirici

Isı değiştiricisinde jeneratörden dönen zayıf çözelti önceden bir miktar ısısını burada bırakmıştır. Absorberde bulunan güçlü çözeltiyi pompa ile pompalandıktan sonra ısı değiştiricisine ulaşır. Isı değiştiricide bulunan ısı ile absorberden gelen güçlü çözeltinin sıcaklığı artırılarak jeneratöre gönderilir. Jeneratörden çıkan zayıf çözeltinin sıcaklığı güçlü çözeltinin sıcaklığından daha fazladır. Isı değiştiriciyle bu iki çözelti karışımı arasında ısı alışverişi gerçekleşmiş olur. Bu şekilde süreklilik tamamlanır.

1.7.7 Genleşme Valfi

Buharlaştırma sıcaklığı akışkanın doyma basıncıyla ilişkilidir ve buharlaştırıcı basıncına göre değişmektedir. Sistem yüksek ve alçak basınç olmak üzere iki farklı aralıkta çalışmaktadır. Genleşme valfleri akışkanın akışını kısarak basıncında değişim yapmaktadır. Genleşme valfinin basıncı düşürmedeki amacı soğutucu akışkanın düşük sıcaklıkta buharlaşmasını sağlamaktır. Genleşme valfi akışkanın basıncını düşürürken aynı zamanda sıcaklığını da düşürmüştür.

1.8 Aşırı Soğutma

Aşırı soğutma ile çevrimde soğutma kapasitesini ve verimi artırmak amaçlanır. Kondenserde kaynama noktasındaki saf amonyak buharının kaynama noktası altında soğutulması işlemidir. Yani kaynama noktasında bulunan soğutucu akışkandan bir miktar duyulur ısının soğutulmasıdır. Bu işlem sonucunda sıvı-buhar fazında bulunan akışkanın sıvılaştırma miktarında artma gözlenir. Bu sayede daha düşük sıcaklıkta daha fazla buharın sıvılaştırma işlemi gerçekleşmiş olur. Bu sonuç birim kondenser hacminde birim zamanda sıvılaştırılan soğutucu miktarındaki artış bize soğutma kapasitesi ve verimin arttığını göstermektedir.

Böylece sistemde birim soğutma için harcanan iş miktarındaki azalma enerji tasarrufu sağlamış olur.

1.9 Aşırı Kızdırma

Bir akışkanın buhar haline geldikten sonra (kaynama noktasında) buhara eklenen gizli ısı miktarıdır. Yani evaporatörden çıkan kızgın amonyak buharının sıcaklığındaki artışı belirtir. Aşırı kızdırma çevrimin verimini ve maksimum çevrim kapasitesi açısından önem taşımaktadır.

1.10 Absorbsiyonlu Soğutma Sistemlerinin Kullanılan Akışkan Çiftlerine Göre Özellikleri ve Sınıflandırılması

Absorpsiyonlu soğutma uygulamalarında iki akışkan çifti çevrimde dolaşmaktadır. Absorbentte dolaşan akışkanlar jeneratörde buharlaştıktan sonra çevrimde dolaşan soğutucu akışkan ve absorbentte soğurma işlemi yapan absorbent maddeden oluşmaktadır. Literatürde birçok akışkan çifti bulunup bunların bazıları pratiğe uygulanmaya başlanmıştır. Bazılarıyla ilgi çalışmalar devam etmektedir. Birçok akışkan çifti olmasına rağmen içlerinde en yaygın olarak kullanılan ammonyak-su ve lityum bromür-su akışkan çiftleridir. Tablo 1.1 literatürde bulunan bazı akışkan çiftlerini göstermektedir.

Tablo 1.1 Üzerinde çalışma yapılan akışkan çiftleri

Soğutucu Akışkan	Absorbent
Amonyak	Stronsiyumklorür (SrCl ₂)
Amonyak	Kalsiyumklorür (CaCl ₂)
Amonyak	Trietanol amin
Amonyak	Heptanol
Amonyak	Gliserol
Amonyak	Silikon yağ
Amonyak	Lidyum bromid (LiBr ₂)
Amonyak	Çinko bromid (ZnBr)
Amonyak	Lidyum nitrat (LiNO ₃)
Amonyak	Sodyumtiosiyanat (NaSCN)
Amonyak	Lidyumtiosiyanat (LiSCN)
Amonyak	N Metil 2 pirrolidon (NMP)
Amonyak	Metil ε kaprolactan (MCL)
Amonyak	Dimetil metil fosfonat (DMMP)
Amonyak	Tetraetilen glikol dimetil eter (DMETEG)
Amonyak	Dimetil formamid (DMF)
Su	Lidyum bromür (LiBr)
Metil amin	Su
Metil klorid	Tetraetil glikol
R 12	Siklohexanon
R 12	Dimetilasitamid
R 21	Dimetil etil ester
R 22	Siklohexanon
R 22	Dimetil formamid
R 22	Dimetil asit amid

Absorpsiyonlu soğutma sistemlerinde akışkan çiftlerinde uçuculuk oranı, basınç, kimyasal çekicilik, katı faz olmaması, kararlılık, korozyon, gizli ısı, viskozite, güvenlik gibi özelliklere sahip olması gerekir.

Uçuculuk oranı: Akışkan çiftlerinde soğutucu akışkanın karışım eriyiğinden daha uçucu

olması akışkan çiftlerinin kolay ayrılmasını sağlayarak ayırma maliyeti ve ısı ihtiyacını azaltır.

Basınç: Basıncın ne yüksek seviyede ne de düşük seviyede olması istenir. Bunun sebebi yüksek basınçlar ekipmanların kalın cidarlı olmasını gerektirir. Düşük basınçlar ise soğutucu buhar akışkanın buhar basıncını düşürmek için başka ekipmanlara ihtiyacı gerektirir. Soğutucunun fiziksel özellikleri basıncın belirlenmesinde önemlidir.

Kimyasal çekicilik: Absorbent maddenin soğutucu akışkana karşı uygun olmasıdır.

Katı faz olmaması: Çevrimde dolaşan akışkan çiftlerinin belli bir sıcaklık bölgesinin üstünde akışın kesilmesini önlemek için katı faz oluşturulmaması gerekir.

Kararlılık: Çevrimde yer alan akışkan çiftlerinde mutlak kimyasal kararlılık aranır çünkü kararsızlık korozif bir madde oluşmasına yol açabilir.

Korozyon: Korozyon koruyucuların kullanılması akışkanlardan veya kararsızlıktan dolayı oluşan maddeler böyle bir oluşuma sebep olmasının önüne geçilir.

Gizli ısı: Soğutucu akışkanın gizli ısısının yüksek tutulmasının yolu çevrimde dolaşan akışkan çiftlerinin dolaşım hızının düşük tutulmasıdır. Bu şartları sağlayan bir akışkan çifti bulunmamaktadır ama uygulamalarda en yaygın amonyak-su ve lityum bromür-su akışkan çiftleri yer bulmuştur. (Alefeld ve Ziegler, 1985)

Viskozite: Akışkanlarda düşük viskozite aranır bunun sebebi ısı ve kütle transferini artırmak ve pompalama işlemini yerine getirebilmek içindir.

Güvenlik: Kullanılacak akışkanların toksik ve yanıcı olmaması gerekir.

1.11 Amonyak-Sulu Sistemler

Akışkanların özelliklerine göre farklılıklar olsa da lityum bromürlü-su ve amonyak-sulu sistemler benzerdirler. Amonyak-su akışkan çiftli absorpsiyonlu soğutma sistemlerinin 1800'lü yılların sonundan buhar sıkıştırma işlemini yapmasına kadar olan sürede buz üretimi amacıyla tasarlanmıştır. Amonyak-su akışkan çiftli absorpsiyonlu soğutma sistemlerinde

çevrimde soğutucu akışkan olarak amonyak akışkanı kullanılmaktadır. Sistemin lityum bromürlü-su veya amonyak-su çevrimi olduğunu sistemde dolaşan suyun rolü belirlemektedir. Amonyak-sulu çevrimlerinde amonyağın soğutucu akışkan olarak en önemli özelliklerinden biri düşük soğutma sıcaklıklarını sistem için uygun kılmasıdır. Bu sistemelerde soğutma tesir katsayıları yaklaşık 0.5'tir. Bu sistemlerde buhar basıncının yüksek olması daha küçük çaplı boruların ve ısı deęiřtiricilerin kullanılmasına olanak saęlar. Jeneratörde üretilen buharda bir miktarda olsa içerisinde su bulundurur. Bu su, evaporatörün evaporatörde biriken suyu uzaklařtırması için sıcaklıęını artırması ve basıncının düşmesine neden olur. Sonuç olarak absorber kořullarına olumsuz etkisi oluşur. Bu suyun fazlalıęını azaltmak için reflikasyon kolonu veya deflakmatör kullanılabilir. Bu yapılar sayesinde suyun evaporatörde birikmesine engel olunarak suyun sistem performansına olan zararlı etkilerinden korunmuř olunur.

Avantajları;

Amonyak-su akışkan çiftinin molekül aęırlıęının düşüktür, kimyasal kararlılıęa sahiptir, maliyeti düşük olup kolay elde edilebilir. Amonyagın sıcaklıęı ve kritik basıncı yüksektir. Ayrıca amonyağın donma sıcaklıęı düşük olduğundan soğutma uygulamalarında tercih edilmesini saęlamıştır. Soğutucu akışkanın buharlaşma ısısı yüksektir.

Dezavantajları;

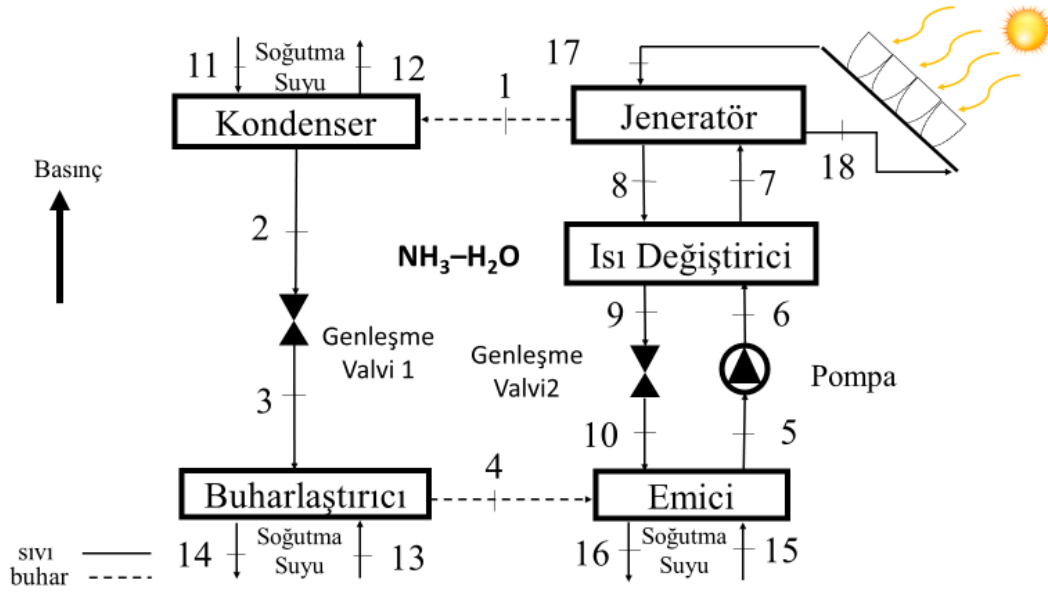
Amonyagın toksik ve yanıcı özellięinin bulunması. Absorbent madde (soęurulan karışım) jeneratör çıkışında soğutucu akışkanla birlikte buharlařtıęından dolayı bir miktar birlikte bulunabilmektedirler bunu gidermek için zenginleřtirme kolonuna gereksinim duyulmuřtur.

BÖLÜM 2

MATERYAL VE METOT

2.1 Tek Etkili Absorpsiyonlu Soğutma Çevrimi

Şekil 2.2 basit bir soğurma soğutma çevrimini gösterir. Bir absorber, bir pompa, bir jeneratör, bir kondansatör, bir ısı deęiřtirici, iki basınç dūřürme valfi ve bir buharlařtırıcı olmak üzere sekiz bileřene sahiptir.



Şekil 2.1 Tek etkili absorpsiyonlu soğutma çevrimi

Çözelti pompası alçak basınç bölümünden yüksek basınç bölümüne geçiři saęlarken, genleşme valfi ve kısılma vanaları ise sistemin yüksek basınçtan alçak basınca uygun biçimde geçmesini saęlar. Amonyak-su akışkan çiftleri sistemde çalışma sıvıları olarak seçilir. Bu döngüde, Amonyak ve su sırasıyla soğutucu ve absorber olarak kullanılır. Soğutucu madde (saf amonyak akışkanı) 1, 2, 3 ve 4 numaralı noktalara gönderildiğinde, çözelti 5, 6, 7 (zengin çözelti akışkanı) ve 8, 9 ve 10 (zayıf çözelti akışkanı) numaralı noktalara gönderilir.

Çevrimde amonyak-su akışkan çifti ařağıdaki şekilde bir dolaşıma sahiptir;

1-2: Jeneratördeki zengin çözelti bazı dış kaynaklar tarafından kaynatılır. Isıtma işlemi sırasında, çözeltiden kondansatöre yüksek basınçta kızgın saf amonyak buharı kondansere

gönderilir. Kondenserde yoğuşturulduktan sonra aşırı soğutma yapılır.

2-3: Kondenserden çıkan amonyak sıvısı genleşme valfinde genişletilip, basıncı ve sıcaklığı düşürülerek evaporatöre gönderilir.

3-4: Evaporatöre gelen amonyak sıvısı çevreden ısı çekerek buharlaşarak absorbere yönlendirilir ve evaporatör çıkışında aşırı kızdırma yapılır.

4-5: Zayıf çözelti absorberde bulunan soğutucu akışkanı emerek absorbe ederek yeni bir çözelti oluşturur. Böylece pompaya zengin bir çözelti olarak girer. İşlem sırasında oluşan atık ısı çevreden gelen soğutma suyuyla ortamdan uzaklaştırılır.

5-6: Çözelti eriyik pompası zengin çözeltiyi ısı değiştiriciye pompalar.

6-7: Zengin çözelti ısı değiştiricide ön ısıtmadan geçerek jeneratöre ulaşır.

7-1: Jeneratöre ulaşan zengin çözelti güneş enerjisi gibi çeşitli kaynaklardan sağlanan ısıtma suyuyla kaynatılarak amonyak-su akışkan çiftinden amonyanın (soğutucu akışkanın) buharlaşması sağlayarak kızgın saf amonyak buharı halinde kondensere yönelerek soğutma çevrimini tekrar başlatmış olur.

7-8: Zayıf çözelti (absorbent) soğutucu akışkandan ayrıldıktan sonra ısı değiştiriciye ulaşır.

8-9: Üzerindeki ısının bir kısmını ısı değiştiricide yayararak, ısı ve basıncının düştüğü genleşme vanasına doğru akar.

9-10: Zayıf çözelti absorbere ulaşır ve böylece döngü tamamlanır.

2.1.1 Tek Etkili Absorbsiyonlu Soğutma Sistemlerinin Enerji ve Ekserji Analizi

Termodinamiğin birinci yasasını kullanarak sistemin enerji ve kütle dengeleri hesaplanmıştır. Termodinamiğin ikinci yasasını kullanarak sistemde bulunan komponentlerin geleneksel ekserji yıkımları hesaplanmıştır.

Çevrimin analizi esnasında akışın sürekli akış ve sabit debide olduğu kabulü yapılmıştır. Ayrıca basınç ve sürtünme kayıpları ile ısı kayıpları ve kazançları ihmal edilmiştir.

2.1.1.1 Absorbsiyonlu Soğutma Sistemlerinin Enerji Analizi

Sistemin geleneksel ekserji analizi yapılmadan önce termodinamiğin birinci yasasından (enerji dengeleri) yararlanarak çevrimin tüm noktalarındaki entalpi ve entropi değerleri hesaplanmıştır.

Sirkülasyon hızı ile amonyak dengesi ve jeneratörde süreklilik eşitliği aşağıdaki gibi bulunabilir;

Dolaşım oranı,

$$f = \frac{m_7}{m_1} = \frac{1 - X_8}{X_7 - X_8} \quad (1)$$

m_7 : zengin çözelti akışı

m_1 : soğutucu akışkan akışı

X_7 : zengin çözelti derişimi

$$m_7 = m_8 + m_1 \quad (2)$$

Açık bir sistem için genel enerji dengesi eşitliği aşağıdaki gibi açıklanabilir.

$$\dot{Q}_g + \dot{W}_g + \dot{m}(h + V^2/2 + gz)_g = \dot{Q}_\zeta + \dot{W}_\zeta + \dot{m}(h + V^2/2 + gz)_\zeta \quad (3)$$

\dot{Q} , \dot{W} ve $\dot{m}(h + V^2/2 + gz)$ sırasıyla ısı, iş ve kütle ile enerji transferini göstermektedir. Eşitliğinde h'nin entalpi'yi ve diğerleri sırasıyla kinetik ve potansiyel enerjiyi gösterir.

\dot{m} , kütle akış hızıdır.

Buna göre kütle korunumu ilkesinden;

$$\sum m_g = \sum m_\zeta \quad (4)$$

Enerjinin korunumu ilkesinden;

$$Q - W = \sum m_g hg - \sum m_\zeta h_\zeta \quad (5)$$

Tablo 2.1'de sistemde bulunan komponentlerin ve akışkanların bazı giriş parametreleri yer almaktadır.

Tablo 2.1 Sisteme giriş parametreleri

Parametreler	Değerler
Pompa izantropik verim	85%
Evaporatör sıcaklığı	5 °C
Kondenser sıcaklığı	45 °C
Jeneratör sıcaklığı	100 °C
Absorber sıcaklığı	45 °C
Havanın jeneratöre giriş sıcaklığı	277 °C
Soğutma suyunun kondensere giriş sıcaklığı	25 °C
Soğutma suyunun kondenserden çıkış sıcaklığı	30 °C
Suyun evaporatöre giriş sıcaklığı	30 °C
Suyun evaporatörden çıkış sıcaklığı	25 °C
Soğutma suyunun absorbere giriş sıcaklığı	20 °C
Soğutma suyunun absorberden çıkış sıcaklığı	25 °C
Aşırı soğutma ve aşırı kızdırma sıcaklığı	5 °C
Havanın debisi	44.5 kg/s
Isı değiştiricinin verimi	50%
Soğutma kapasitesi	20 kW
Çevre basıncı	101.325 kPa
Çevre sıcaklığı	25 °C

Elemanların Enerji Analizi

Aşağıdaki eşitliklerde jeneratör, kondenser, absorber, evaporator, ısı değiştirici, pompa, genleşme vanaları için enerji ve kütle denge eşitlikleri sırasıyla aşağıda belirtilmiştir.

Jeneratör için enerji dengesi eşitliği;

$$\dot{m}_7 h_7 + \dot{m}_{17} h_{17} = \dot{m}_1 h_1 + \dot{m}_8 h_8 + \dot{m}_{18} h_{18} \quad (6)$$

$$\dot{m}_7 x_7 = \dot{m}_8 x_8 + \dot{m}_1 \quad (7)$$

$$\dot{m}_{17} = \dot{m}_{18} \quad (8)$$

\dot{m}_7 : zayıf çözelti akışı

x_7 : zengin çözelti derişimi

x_8 : zayıf çözelti derişimi

Kondenser için enerji dengesi eşitliği;

$$\dot{m}_1 h_1 + \dot{m}_{11} h_{11} = \dot{m}_2 h_2 + \dot{m}_{12} h_{12} \quad (9)$$

$$\dot{m}_1 = \dot{m}_2 \quad (10)$$

$$\dot{m}_{11} = \dot{m}_{12} \quad (11)$$

$$x_1 = x_2 \quad (12)$$

Absorber için enerji dengesi eşitliği;

$$\dot{m}_4 h_4 + \dot{m}_{10} h_{10} + \dot{m}_{15} h_{15} = \dot{m}_5 h_5 + \dot{m}_{16} h_{16} \quad (13)$$

$$\dot{m}_5 = \dot{m}_4 + \dot{m}_{10} \quad (14)$$

$$\dot{m}_{15} = \dot{m}_{16} \quad (15)$$

$$x_5 = x_7 \quad (16)$$

$$x_{10} = x_8 \quad (17)$$

Evaporatör için enerji dengesi eşitliği;

$$\dot{m}_3 h_3 + \dot{m}_{13} h_{13} = \dot{m}_4 h_4 + \dot{m}_{14} h_{14} \quad (18)$$

$$\dot{m}_3 = \dot{m}_4 \quad (19)$$

$$\dot{m}_{13} = \dot{m}_{14} \quad (20)$$

$$x_3 = x_4 \quad (21)$$

Isı deęiřtirici için enerji dengesi eşitliği;

$$\dot{m}_6 h_6 + \dot{m}_8 h_8 = \dot{m}_7 h_7 + \dot{m}_9 h_9 \quad (22)$$

$$\dot{m}_9 = \dot{m}_8 \quad (23)$$

$$\dot{m}_6 = \dot{m}_7 \quad (24)$$

$$x_9 = x_8 \quad (25)$$

$$x_6 = x_7 \quad (26)$$

Pompa için enerji dengesi eşitliği;

$$\dot{m}_6 h_6 = \dot{m}_5 h_5 + W_{pompa} \quad (27)$$

$$\dot{m}_6 = \dot{m}_5 \quad (28)$$

$$x_5 = x_6 \quad (29)$$

Genleşme valfi1 için kütle dengesi eşitliği;

$$\dot{m}_2 = \dot{m}_3 \quad (30)$$

$$h_2 = h_3 \quad (31)$$

$$x_2 = x_3 \quad (32)$$

Genleşme valfi2 için kütle dengesi eşitliği;

$$\dot{m}_9 = \dot{m}_{10} \quad (33)$$

$$h_9 = h_{10} \quad (34)$$

$$x_9 = x_{10} \quad (35)$$

2.1.1.2 Absorbsiyonlu Soğutma Sistemlerinin Entropi ve Ekserji Analizi

Klasik enerji analizlerinde enerji miktarı esas alınırken ekserji analizlerinde enerjinin kalitesi dikkate alınır. Ekserji analizleri kompleks termodinamik sistemlerin çözümünde yardımcı olmaktadır. Ekserji tanım olarak sistem halinin çevre şartlarına indirilerek sapmasından elde edilebilecek maksimum iş denilebilir. Termodinamiğin birinci yasasıyla ısı dengesi analizleri yaparak gerçek kayıpların bulunması güç olduğundan ekserji analizlerine başvurulur. Ekserji yıkımına neden olan başlıca kayıplar; sıcaklık farkıyla oluşan ısı transferi, sürtünme kayıpları, kontrolsüz genişlemedir.

Kütleyle giren ekserji yıkımını aşağıdaki gibi tanımlayabiliriz:

Elemanların Entropi ve Ekserji Analizi

Her bir elemanın ekserji analizini hesaplamadan önce fiziksel ekserji eşitliğini kullanarak tüm noktalardaki ekserji değerleri hesaplanmıştır. Termodinamiğin birinci yasasından yararlanılarak elde edilen entalpi ve entropi değerleri kullanılarak EES programında her bir nokta için ekserji değerleri elde edilmiştir.

Termodinamiğin ikinci yasa eşitliğini kullanarak her bir elemanın ekserji kaybı bulunur;

$$\dot{E}x_{\text{ısı},g} + \dot{E}x_{\text{iş},g} + \dot{E}x_{\text{kütle},g} = \dot{E}x_{\text{ısı},ç} + \dot{E}x_{\text{iş},ç} + \dot{E}x_{\text{kütle},ç} + \dot{E}x_{\text{eks yık}} \quad (36)$$

Kütle ve iş tarafından ekserji girdisi dikkate alınarak aşağıdaki eşitlikler bulunur.

$$\dot{E}x_{i\dot{s}} = \dot{W} \quad (37)$$

$$\dot{E}x_{k\dot{m}le} = \dot{m}[(h - h_0) - T_0(s - s_0)] \quad (38)$$

Temel ekserji kaybı eşitliğini kullanarak, ulaşılan ekserji değerleriyle her bir eleman için ayrı ayrı ekserji kaybı bulunur.

Aşağıdaki eşitliklerde jeneratör, kondenser, absorber, evaporator, ısı değiştirici, pompa, genleşme vanaları için ekserji denge eşitlikleri sırasıyla aşağıda belirtilmiştir.

Komponentlerin ekserji yıkımları için yazılan aşağıdaki her iki eşitlikte de ekserji yıkımları bulunabilir.

$\dot{E}x_k$, \dot{S}_k ve \dot{E}_k sırasıyla her bir noktadaki ekserji, entropi ve komponentlerin ekserji yıkımını göstermektedir.

Jeneratör için ekserji dengesi eşitliği;

$$\begin{aligned} \dot{E}x_7 + \dot{E}x_{17} &= \dot{E}x_8 + \dot{E}x_1 + \dot{E}x_{18} + \dot{E}x_{\text{eks yık,JE}} \\ \dot{S}_7 + \dot{S}_{17} + (\dot{E}x_{\text{eks yık,JE}}/T_0) &= \dot{S}_8 + \dot{S}_1 + \dot{S}_{18} \end{aligned} \quad (39)$$

Kondenser için ekserji dengesi eşitliği;

$$\begin{aligned} \dot{E}x_1 + \dot{E}x_{11} &= \dot{E}x_2 + \dot{E}x_{12} + \dot{E}x_{\text{eks yık,KO}} \\ \dot{S}_1 + \dot{S}_{11} + \dot{E}x_{\text{eks yık,KO}} / T_0 &= \dot{S}_2 + \dot{S}_{12} \end{aligned} \quad (40)$$

Absorber için ekserji dengesi eşitliği;

$$\begin{aligned} \dot{E}x_4 + \dot{E}x_{10} + \dot{E}x_{15} &= \dot{E}x_5 + \dot{E}x_{16} + \dot{E}x_{\text{eks yık,AB}} \\ \dot{S}_4 + \dot{S}_{10} + \dot{S}_{15} + \dot{E}x_{\text{eks yık,AB}}/T_0 &= \dot{S}_5 + \dot{S}_{16} \end{aligned} \quad (41)$$

Evaporatör için ekserji dengesi eşitliği;

$$\begin{aligned} \dot{E}x_3 + \dot{E}x_{13} &= \dot{E}x_4 + \dot{E}x_{14} + \dot{E}x_{\text{eks yık,EV}} \\ \dot{S}_3 + \dot{S}_{13} + \dot{E}x_{\text{eks yık,EV}}/T_0 &= \dot{S}_4 + \dot{S}_{14} \end{aligned} \quad (42)$$

Isı Değiştirici için ekserji dengesi eşitliği;

$$\begin{aligned}\dot{E}x_6 + \dot{E}x_8 &= \dot{E}x_7 + \dot{E}x_9 + \dot{E}x_{\text{eks yılı, ISI DEĞ}} \\ \dot{S}_6 + \dot{S}_8 + (\dot{E}x_{\text{eks yılı, ISI DEĞ}}/T_0) &= \dot{S}_7 + \dot{S}_9\end{aligned}\quad (43)$$

Pompa için ekserji dengesi eşitliği;

$$\begin{aligned}\dot{E}x_5 + W_{PU} &= \dot{E}x_6 + \dot{E}x_{\text{eks yılı, PO}} \\ \dot{S}_5 + (\dot{E}x_{\text{eks yılı, PO}}/T_0) &= \dot{S}_6\end{aligned}\quad (44)$$

Genleşme valfi1 için ekserji dengesi eşitliği;

$$\begin{aligned}\dot{E}x_2 &= \dot{E}x_3 + \dot{E}x_{\text{eks yılı, GEN VALFİ1}} \\ \dot{S}_2 + \dot{E}x_{\text{eks yılı, GEN VALFİ1}}/T_0 &= \dot{S}_3\end{aligned}\quad (45)$$

Genleşme valfi2 için ekserji dengesi eşitliği;

$$\begin{aligned}\dot{E}x_9 &= \dot{E}x_{10} + \dot{E}x_{\text{eks yılı, GEN VALFİ2}} \\ \dot{S}_9 + (\dot{E}x_{\text{eks yılı, GEN VALFİ2}}/T_0) &= \dot{S}_{10}\end{aligned}\quad (46)$$

Sistemin toplam ekserji kaybı tüm elemanlardaki ekserji kayıpların toplamıyla tanımlanabilir:

$$\dot{E}x_{\text{eks yılı, top}} = \sum \dot{E}x_{\text{eks yılı, k}} \quad (47)$$

2.2 Soğutma Tesir Katsayısı (COP)

Bir soğutma makinesi ısı değerlendirmesi soğutma tesir katsayısıyla yapılır.

$$COP = \dot{Q}_{EV} / (\dot{Q}_{JE} + \dot{W}_{PO}) = \dot{m}_{EV} (h_4 - h_3) / (\dot{m}_1 h_1 + \dot{m}_8 h_8 - \dot{m}_7 h_7) \quad (48)$$

Performans katsayısı, bir soğutma sisteminin verimliliğinin bir ifadesidir ve evaporatör tarafından üretilen soğutma kapasitesinin, jeneratörün ürettiği ısıya ve pompanın elektrik tüketimine oranı olarak tanımlanabilir.

2.3 İleri Ekserji Analiz Metodu

Geleneksel ekserji analizi, ekserji yıkım oranının önemini ve hangi bileşenin tersinmezliği olduğunu tanımlayabilir. Bununla birlikte, bileşen arasındaki etkileşimi tanımlayamaz veya gerçek iyileştirme potansiyelini öngöremez. Özellikle birçok bileşenin birbiriyle etkileşime girdiği karmaşık sistemler için sistemi geleneksel yaklaşımla optimize etmek, komponentler arasındaki etkileşimi dikkate almadan elverişli olmayabilir. Ekserji yıkımının birkaç bölüme ayrıldığı kapsamlı bir ekserji analizine gelişmiş ekserji analizi adı verilir. Bu parçalar önlenebilir-kaçınılamaz ve içsel-dışsal ekserji yıkımlarından oluşmaktadır. (Morosuk vd., 2012).

İncelenen komponentin kendisinden kaynaklanan ekserji yıkımının oluşmasına içsel ekserji yıkımı denir. Dışsal ekserji yıkımı ise incelenen komponentin diğer komponentlerle olan ilişkisinden kaynaklanan ekserji yıkımıdır. Kaçınılamaz ekserji yıkımı en iyi teknoloji uygulansa bile incelenen komponentin sahip olduğu kısıtlamalardan kaynaklanan ekserji yıkımıdır. Kaçınılabılır ekserji yıkımı ise incelenen komponentin gerçek geliştirme potansiyelidir.

Toplam ekserji yıkımının değeri, incelenen komponent için bir ekserji dengesi ile aşağıdaki gibi bulunabilir.

$$\dot{E}_{\text{eks yık},k} = \dot{E}_{\text{yakıt},k} - \dot{E}_{\text{ürün},k} = T_0 \dot{S}_{\text{üretim},k} = T_0 \dot{m}_k s_{\text{üretim},k} \quad (49)$$

Ekserji verimliliği, k. komponent için aşağıdaki eşitliklerle hesaplanabilir.

$$\epsilon_k = \dot{E}_{\text{ürün},k} / \dot{E}_{\text{yakıt},k} = 1 - \dot{E}_{\text{eks yık},k} / \dot{E}_{\text{yakıt},k} \quad (50)$$

Soğutucu soğutma sisteminin her bir k. bileşeni için çalışmasından kaynaklanan ekserji yıkımı, içsel ekserji yıkımı $\dot{E}_{\text{eks yık},k}^{IC}$ olarak adlandırılırken, k. bileşeninde meydana gelen ancak diğer döngü bileşenlerinin çalışmasından kaynaklanan ekserji yıkımına dışsal ekserji yıkımı $\dot{E}_{\text{eks yık},k}^{DIŞ}$ olarak adlandırılır. İncelenen komponentin içsel ekserji yıkımı bulunurken diğer komponentler tersinir (ideal durum) kabul edilerek incelen komponentin tersinmezliği (gerçek durum) bulunur. Komponentlerin içsel ekserji yıkımları hesaplandıktan sonra komponentlerin geleneksel ekserji yıkımıyla içsel ekserji yıkımları arasındaki fark dışsal ekserji yıkımını vermektedir.

$$\dot{E}_{\text{eks yık},k} = \dot{E}_{\text{eks yık},k}^{IÇ} + \dot{E}_{\text{eks yık},k}^{DIS} \quad (51)$$

İleri ekserji analizi ayrıca her döngü komponentindeki tersinmezliği önlenebilir $\dot{E}_{\text{eks yık},k}^{\dot{O}N}$ veya kaçınılamaz olarak sınıflandırır $\dot{E}_{\text{eks yık},k}^{KAÇ}$. İncelenen komponentin kaçınılabılır ekserji yıkımı bulunurken komponentin ideal ve gerçek durumları arasındaki fark geliştirme potansiyelini (kaçınılabılır) verir. Komponentlerin kaçınılabılır ekserji yıkımları hesaplandıktan sonra komponentlerin geleneksel ekserji yıkımıyla kaçınılabılır ekserji yıkımları arasındaki fark kaçınılamaz ekserji yıkımını vermektedir.

$$\dot{E}_{\text{eks yık},k} = \dot{E}_{\text{eks yık},k}^{KAÇ} + \dot{E}_{\text{eks yık},k}^{\dot{O}N} \quad (52)$$

Kaçınılamaz ekserji yıkımını bulmak için, herbir komponent dışlanmış ve sistemden ayrı olarak değerlendirilmelidir. Birim ürün ekserji başına ekserji yıkım oranı $(\dot{E}_{\text{eks yık},k} / \dot{E}_{\text{ürün},k})^{KAÇ}$, sistemin yüksek verim ve düşük kayıplarla çalıştığını varsayarak tespit edilebilir.

Gerçek durum ürün ekserji oranını kullanarak, k. komponent için kaçınılamaz ekserji yıkımı açıklanabilir (Petrakopoulou vd., 2012).

$$\dot{E}_{\text{eks yık},k}^{KAÇ} = \dot{E}_{\text{ürün},k}^{\text{gerçek}} (\dot{E}_{\text{eks yık},k} / \dot{E}_{\text{ürün},k})^{KAÇ} \quad (53)$$

Ekserji yıkımının kaçınılamaz içsel-dışsal ve kaçınılabılır içsel-dışsal yıkım kısımları sırasıyla açıklanmaktadır (Morosuk vd., 2012).

$$\dot{E}_{\text{eks yık},k}^{KAÇ,IÇ} = \dot{E}_{\text{eks yık},k}^{IÇ} (\dot{E}_{\text{eks yık},k} / \dot{E}_{\text{ürün},k})^{KAÇ} \quad (54)$$

$$\dot{E}_{\text{eks yık},k}^{KAÇ,DIS} = \dot{E}_{\text{eks yık},k}^{KAÇ} - \dot{E}_{\text{eks yık},k}^{KAÇ,IÇ} \quad (55)$$

$$\dot{E}_{\text{eks yık},k}^{\dot{O}N,IÇ} = \dot{E}_{\text{eks yık},k}^{IÇ} - \dot{E}_{\text{eks yık},k}^{KAÇ,IÇ} \quad (56)$$

$$\dot{E}_{\text{eks yük},k}^{\text{ÖN,DIŞ}} = \dot{E}_{\text{eks yük},k}^{\text{ÖN}} - \dot{E}_{\text{eks yük},k}^{\text{ÖN,İÇ}} \quad (57)$$

Gelişmiş ekserji analizini değerlendirmek için, modifiye ekserji verimi şu şekilde ifade edilebilir (Morosuk vd., 2012).

$$\epsilon_{\text{modifiye}} = \dot{E}_{\text{ürün},k}^{\text{Ürün}} (\dot{E}_{\text{yakıt},k} - \dot{E}_{\text{eks yük},k}^{\text{KAÇ}} - \dot{E}_{\text{eks yük},k}^{\text{ÖN,DIŞ}}) \quad (58)$$

Tablo 2.2’de gerçek, kaçınılamaz ve ideal şartlardaki bazı komponent değerlerinin karşılaştırılması yapılmıştır.

Tablo 2.2 Gerçek, kaçınılamaz ve ideal şartlar altındaki değerler

Komponent	Gerçek	Kaçınılamaz	İdeal
Evaporatör	5 °C	14.5 °C	15 °C
Kondenser	45 °C	38.5 °C	38 °C
Gen. Valfi 1	İzentalpik	İzentalpik	İzentropik
Soğurucu	45 °C	38.5 °C	35 °C
Pompa	0.85	0.95	1
Gen. V. 2	İzentalpik	İzentalpik	İzentropik
Isı deęiřtirici	0.5	0.9	1
Jeneratör	100 °C	109.5 °C	110 °C

BÖLÜM 3

BULGULAR VE TARTIŞMA

Termodinamiğin birinci ve ikinci yasalarından yararlanarak EES programında konvansiyonel ve komponentlerde gerçekleşen ekserji yıkımlarını daha kapsamlı incelemek için ileri ekserji analizleri gerçekleştirilmiştir. Çevrimde on sekiz noktanın termodinamik özellikleri belirlenip sistemde bulunan sekiz komponent için ayrı ayrı ekserji yıkımları, soğutma tesir katsayıları, toplam ekserji yıkımları ve ekserji verimi gibi parametreler gerçek, ideal ve kaçınılmaz şartlar altında kıyaslanmıştır.

Tablo 3.1 sistemin gerçek şartlar altındaki termodinamik özelliklerini göstermektedir. EES programında çevrimde bulunan 18 noktanın termodinamik özellikleri termodinamiğin birinci yasasından yararlanılarak oluşturulan enerji ve kütle dengeleri ile hesaplanarak oluşturulmuştur. Bu noktalarda amonyak, soğutma su, hava veya hem amonyak hem de suyun bulunduğu çözelti (derişim) karışımları bulunmaktadır.

Tablo 3.1 Sistemin gerçek şartlar altındaki termodinamik özellikleri

Nokta	Akışkan	T(°C)	P(kPa)	h (kJ/kg)	\dot{m} (kg/s)	s (kJ/kgK)	e (kJ/kg)	\dot{E} (kW)
1	NH ₃	105	1782	1671	0.01834	5.623	25.49	0.4675
2	NH ₃	40	1782	390.7	0.01834	1.643	-88.2	-1.618
3	NH ₃	5	516	390.7	0.01834	1.686	-100.6	-1.845
4	NH ₃	10	516	1481	0.01834	5.605	-159.2	-2.921
5	NH ₃ -H ₂ O	45	516	-37.85	0.1756	0.5116	-184.9	-32.47
6	NH ₃ -H ₂ O	45.18	1782	-36.03	0.1756	0.5125	-183.4	-32.2
7	NH ₃ -H ₂ O	72.57	1782	87.93	0.1756	0.886	-168.9	-29.65
8	NH ₃ -H ₂ O	105	1782	242.8	0.1572	1.308	-137.9	-21.69
9	NH ₃ -H ₂ O	75.09	1782	104.3	0.1572	0.9272	-164.6	-25.88
10	NH ₃ -H ₂ O	60.56	516	104.3	0.1572	0.936	-167.2	-26.28
11	H ₂ O	25	101.3	104.3	1.123	0.3669	0.1764	0.1981
12	H ₂ O	30	101.3	125.8	1.123	0.4365	0.6977	0.7834
13	H ₂ O	30	101.3	125.8	0.9562	0.4365	0.6977	0.6671
14	H ₂ O	25	101.3	104.8	0.9562	0.3669	0.1764	0.1686
15	H ₂ O	20	101.3	83.93	2.401	0.2962	0	0
16	H ₂ O	25	101.3	104.8	2.401	0.3669	0.1764	0.4235
17	Hava	277	600	554.8	44.5	6.972	223.8	9957
18	Hava	275.8	600	553.6	44.5	6.969	223.2	9932

Tablo 3.2 sistemin ideal şartlar altındaki termodinamik özelliklerini göstermektedir. EES programında çevrimde bulunan 18 noktanın termodinamik özellikleri termodinamiğin birinci yasasından yararlanılarak oluşturulan enerji dengeleri ile hesaplanarak oluşturulmuştur.

Tablo 3.2 Sistemin ideal şartlar altındaki termodinamik özellikleri

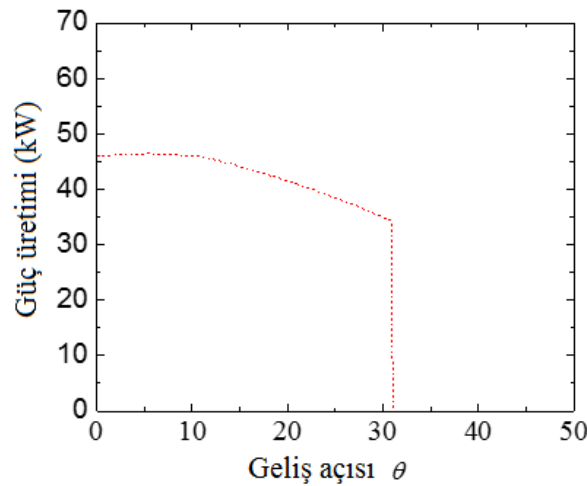
Nokta	Akışkan	T(°C)	P(kPa)	h (kJ/kg)	\dot{m} (kg/s)	s(kJ/kgK)	e(kJ/kg)	\dot{E} (kW)
1	NH ₃	120	1471	1720	0.01757	5.837	11.45	0.2013
2	NH ₃	33	1471	356.4	0.01757	1.534	-90.53	-1.591
3	NH ₃	15	728.8	352.6	0.01757	1.534	-94.32	-1.657
4	NH ₃	20	728.8	1491	0.01757	5.484	-113.9	-2.001
5	NH ₃ -H ₂ O	38	728.8	-54.66	0.04092	0.4185	-174.4	-7.138
6	NH ₃ -H ₂ O	38.09	1471	-53.7	0.04092	0.4185	-173.5	-7.099
7	NH ₃ -H ₂ O	67.37	1471	153.2	0.04092	1.044	-149.9	-6.134
8	NH ₃ -H ₂ O	120	1471	336.8	0.02335	1.512	-103.6	-2.418
9	NH ₃ -H ₂ O	38.09	1471	-25.78	0.02335	0.4796	-163.5	-3.817
10	NH ₃ -H ₂ O	38.05	728.8	-26.62	0.02335	0.4796	-164.3	-3.836
11	H ₂ O	25	101.3	104.8	1.145	0.3669	0.1764	0.202
12	H ₂ O	30	101.3	125.8	1.145	0.4365	0.6977	0.799
13	H ₂ O	30	101.3	125.8	0.9562	0.4365	0.6977	0.6671
14	H ₂ O	25	101.3	104.8	0.9562	0.3669	0.1764	0.1686
15	H ₂ O	30	101.3	125.8	1.33	0.4365	0.6977	0.9277
16	H ₂ O	35	101.3	146.7	1.33	0.5049	1.553	2.064
17	Hava	277	600	554.8	44.5	6.972	223.8	9957
18	Hava	276.3	600	554.1	44.5	6.97	223.4	9942

Tablo 3.3 sistemin kaçınılmaz şartlar altındaki termodinamik özelliklerini göstermektedir. EES programında çevrimde bulunan 18 noktanın termodinamik özellikleri, termodinamiğin birinci yasasından yararlanılarak oluşturulan enerji dengeleri ile hesaplanarak oluşturulmuştur.

Tablo 3.3 Sistemin kaçınılmaz şartlar altındaki termodinamik özellikleri

Nokta	Akışkan	T(°C)	P(kPa)	h (kJ/kg)	\dot{m} (kg/s)	s(kJ/kgK)	e(kJ/kg)	\dot{E} (kW)
1	NH ₃	119.5	1492	1718	0.01768	5.826	12.88	0.2276
2	NH ₃	33.5	1492	358.8	0.01768	1.542	-90.39	-1.598
3	NH ₃	14.5	716.8	358.8	0.01768	1.557	-94.6	-1.672
4	NH ₃	19.5	716.8	1490	0.01768	5.49	-116.1	-2.052
5	NH ₃ -H ₂ O	38.5	716.8	-54.59	0.04282	0.4236	-175.9	-7.532
6	NH ₃ -H ₂ O	38.63	1492	-53.42	0.04282	0.4242	-174.9	-7.489
7	NH ₃ -H ₂ O	68.28	1492	136.7	0.04282	0.9989	-153.3	-6.564
8	NH ₃ -H ₂ O	119.5	1492	332.9	0.02515	1.505	-105.4	-2.649
9	NH ₃ -H ₂ O	46.72	1492	9.26	0.02515	0.5945	-162.1	-4.077
10	NH ₃ -H ₂ O	46.87	716.8	9.26	0.02515	0.5973	-162.9	-4.097
11	H ₂ O	25	101.3	104.8	1.148	0.3669	0.1764	0.2025
12	H ₂ O	30	101.3	125.8	1.148	0.4365	0.6977	0.8012
13	H ₂ O	30	101.3	125.8	0.9562	0.4365	0.6977	0.6671
14	H ₂ O	25	101.3	104.8	0.9562	0.3669	0.1764	0.1686
15	H ₂ O	20	101.3	83.93	1.382	0.2962	0	0
16	H ₂ O	25	101.3	104.8	1.382	0.3669	0.1764	0.2438
17	Hava	277	600	554.8	44.5	6.972	223.8	9957
18	Hava	276.3	600	554	44.5	6.97	223.4	9942

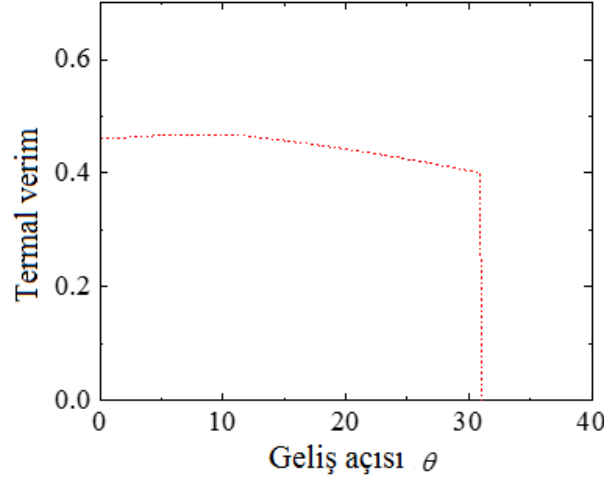
Şekil 3.1 geliş açısının güç üretimi üzerindeki etkisini göstermektedir. Geliş açısı arttıkça tüm yoğunlaştırıcılarda güç üretiminin azaldığı görülmüştür. Ortalama güç üretimi ile sıcaklık belirlendikten sonra akış çıkış sıcaklığı (277°C) için analizler yapıldı. Geliş açısı 31°C'den sonra absorber bölgesine gelmediği için bu sıcaklıktan sonraki aralıklarda güç üretimindeki değişim sonlanmıştır.



Şekil 3.9 Geliş açısı-güç üretimi arasındaki ilişki

Şekil 3.2 geliş açısının termal verim üzerindeki etkisini göstermektedir. Geliş açısı arttıkça

tüm yoğunlaştırıcılarda termal verimin azaldığı görülmüştür. Geliş açısı 31°C'den sonra absorber bölgesine gelmediği için bu sıcaklıktan sonraki aralıklarda termal verimdeki değişim sonlanmıştır.



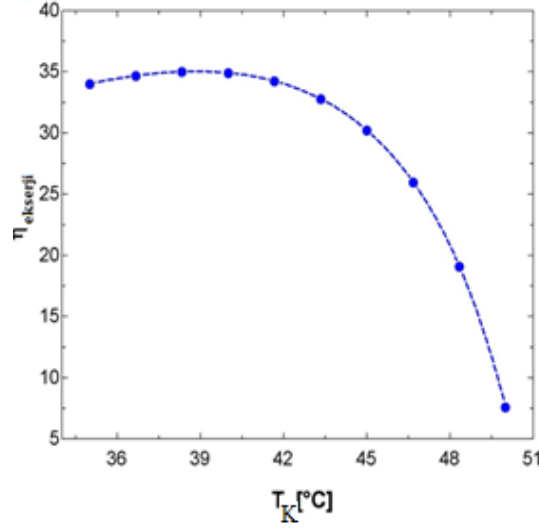
Şekil 3.2 Geliş açısı-termal verim arasındaki ilişki

3.1 Geleneksel Ekserji Analizi Sonuçları

Termodinamiğin ikinci yasası kullanılarak çevrimde bulunan komponentlerin geleneksel ekserji yıkımı belirlenmiştir. Sistem komponentlerinin sistem parametreleri üzerindeki etkisi incelenmiştir.

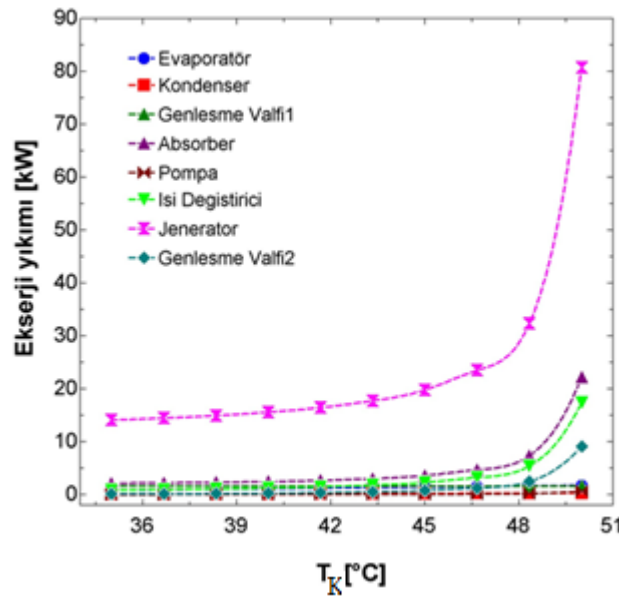
3.1.1 Kondenser Sıcaklığının Etkisi

Şekil 3.3 kondenser sıcaklığının ekserji verimi üzerindeki etkisini göstermektedir. Başlangıçta kondenser sıcaklığı arttıkça sistemin ikinci yasa veriminde artış görülmektedir fakat 40°C 'den sonra kondenser sıcaklığındaki artış ekserji veriminde azalmaya neden olmuştur. Sistemin ekserji verimi kondenser sıcaklığı yaklaşık olarak 50°C 'de iken maksimum değerini almıştır. Kondenser sıcaklığı sistemin ekserji verimini azaltırken toplam ekserji yıkımını arttırdığı görülmektedir.



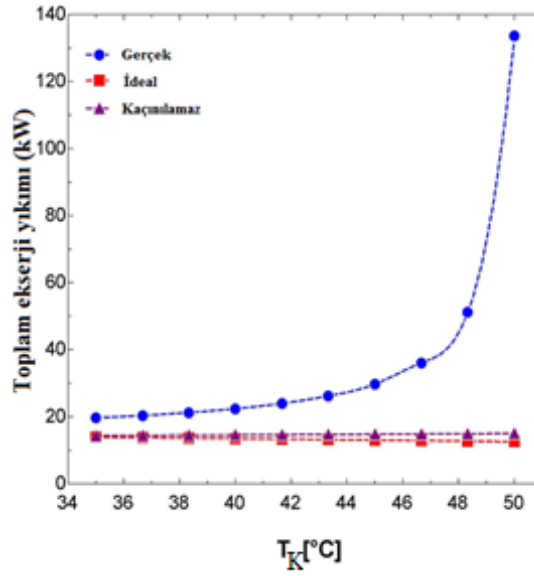
Şekil 103 Kondenser sıcaklığı ile ekserji verimi değişimi

Şekil 3.4 kondenser sıcaklığının komponentlerdeki ekserji yıkımı üzerindeki etkisini göstermektedir. Kondenser sıcaklığı arttıkça komponentlerdeki ekserji yıkımlarının genelinde artış görülmektedir. Ancak ekserji yıkımı jeneratör komponentinde en çok olmuştur. Şekildeki grafik incelendiğinde jeneratör komponentinin ekserji yıkımının kondenser sıcaklığına daha çok bağlı olduğu görülmektedir. Kondenser sıcaklığının evaporatör, genişleme valfi ve pompada meydana gelen ekserji yıkımlarına etkisi gözlenmemiştir çünkü bu komponentlerin ekserji yıkımları artan kondenser sıcaklığına rağmen sabit kalıp etkilenmemiştir.



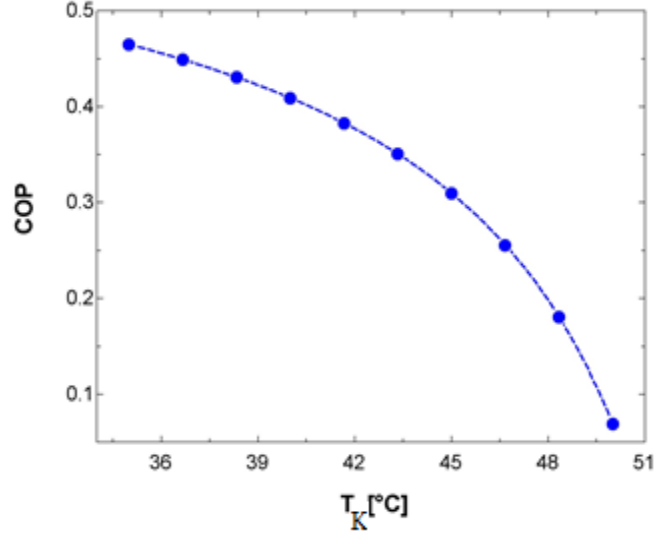
Şekil 3.4 Kondenser sıcaklığı ile komponentlerdeki ekserji yıkımlarının değişimi

Şekil 3.5 'te kondenser sıcaklığının gerçek, ideal ve kaçınılmaz şartlar altındaki toplam ekserji yıkımı üzerindeki etkisi karşılaştırılmıştır. Kondenser sıcaklığı arttıkça gerçek şartlar altındaki toplam ekserji yıkımı artarken ideal ve kaçınılmaz şartlar altındaki toplam ekserji yıkımları sabit kalmaktadır. Gerçek şartlar altında sistemin toplam ekserji yıkımı 20kW olduğu görülmektedir ve başlangıçta ideal ve kaçınılmaz şartlar altındaki toplam ekserji yıkım değerlerine çok yakinken artan yoğunlaştırıcı sıcaklığı etkisiyle ideal ve kaçınılmaz şartlar altındaki toplam ekserji yıkım değerlerinden uzaklaşarak toplam ekserji yıkım değeri artmıştır. Bu artış sonucunda toplam ekserji yıkımının değeri yaklaşık olarak 140 kW olmuştur.



Şekil 3.5 Kondenser sıcaklığı ile gerçek, ideal ve kaçınılmaz şartlar altındaki toplam ekserji yıkımlarının değişimi

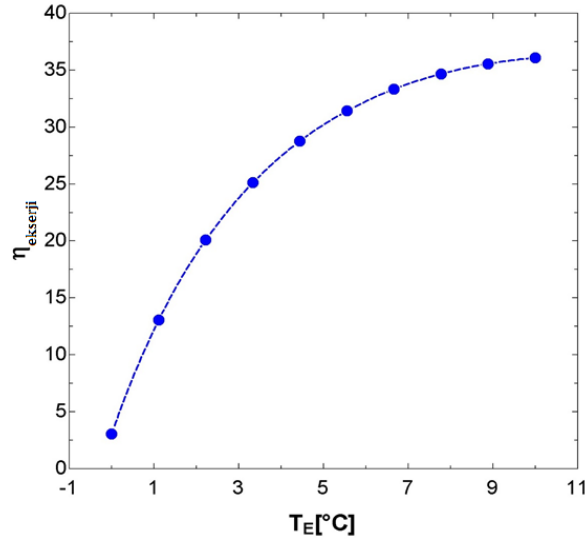
Şekil 3.6 'da kondenser sıcaklığının gerçek, ideal ve kaçınılmaz şartlar altındaki soğutma tesir katsayısı üzerindeki etkisi karşılaştırılmıştır. Kondenser sıcaklığı arttıkça kaçınılmaz ve gerçek şartlar altındaki soğutma tesir katsayıları azalırken ideal şartlar altındaki soğutma tesir katsayısı artmaktadır. Kondenser sıcaklığı 35-50°C aralığında incelendiğinde gerçek şartlar altında COP değerinin 0.45-0.05 aralığında değiştiği görülmektedir. Kondenser sıcaklığı 50°C olduğunda soğutma tesir katsayısı minimum değerini almaktadır.



Şekil 3.6 Kondenser sıcaklığı ile COP değişimi

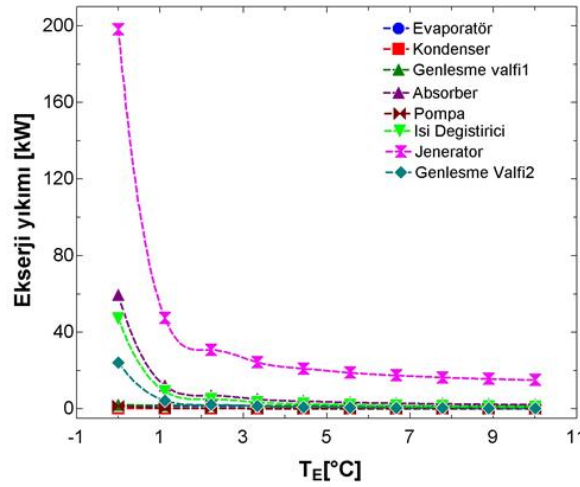
3.1.2 Evaporatör Sıcaklığının Etkisi

Şekil 3.7 evaporatör sıcaklığının ekserji verimi üzerindeki etkisi göstermektedir. Evaporatör sıcaklığı arttıkça sistemin ikinci yasa veriminde artış görünmektedir. Ekserji verimi evaporatör sıcaklığı 10°C’de iken maksimum değerini almıştır. Evaporatör sıcaklığı sistemin ekserji verimini arttırırken toplam ekserji yıkımını azalttığı görülmektedir. Ekserji verimindeki artış eğilimi 8 °C’den sonra yavaşlayarak sabitlenmiştir. Evaporatör sıcaklığı 0-10°C aralığında seçilerek ekserji verimindeki artış belirlenmiştir.



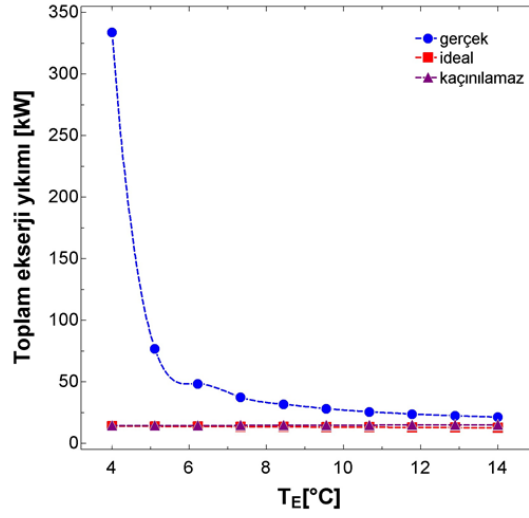
Şekil 3.7 Evaporatör sıcaklığı ile ekserji verimi değişimi

Şekil 3.8 evaporatör sıcaklığının komponentlerdeki ekserji yıkımı üzerindeki etkisini göstermektedir. Evaporatör sıcaklığı arttıkça komponentlerdeki ekserji yıkımlarının genelinde azalma görülmektedir. Ancak ekserji yıkımı jeneratör komponentinde en çok olmuştur. Şekildeki grafik incelendiğinde jeneratör komponentinin ekserji yıkımının evaporatör sıcaklığına daha çok bağlı olduğu görülmektedir. Evaporatör sıcaklığının kondenser, genişleme valfi1 ve pompada meydana gelen ekserji yıkımlarına etkisi gözlenmemiştir çünkü bu komponentlerin ekserji yıkımları artan evaporatör sıcaklığına rağmen sabit kalmıştır.



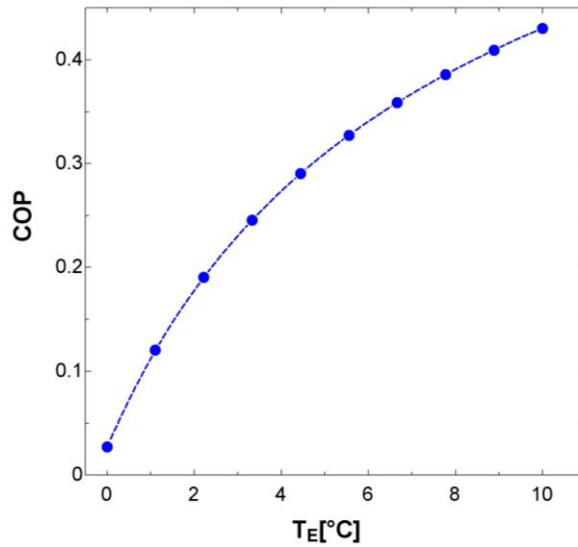
Şekil 3.8 Evaporatör sıcaklığı ile komponentlerdeki ekserji yıkımlarının değişimi

Şekil 3.9 'da evaporatör sıcaklığının gerçek, ideal ve kaçınılamaz şartlar altındaki toplam ekserji yıkımı üzerindeki etkisi karşılaştırılmıştır. Evaporatör sıcaklığı arttıkça ideal ve kaçınılamaz şartlar altındaki toplam ekserji yıkımları nispeten artarken gerçek şartlar altındaki toplam ekserji yıkımı azalmaktadır. Gerçek şartlar altında sistemin toplam ekserji yıkımı yaklaşık olarak 330kW olduğu görülmektedir. Fakat artan evaporatör sıcaklığı etkisiyle ideal ve kaçınılamaz şartlar altındaki toplam ekserji yıkımlarına azalarak yaklaşmıştır ve bu azalış sonucunda toplam ekserji yıkımının değeri yaklaşık olarak 25kW olmuştur.



Şekil 3.9 Evaporatör sıcaklığı ile gerçek, ideal ve kaçınılamaz şartlar altındaki toplam ekserji yıkımlarının değişimi

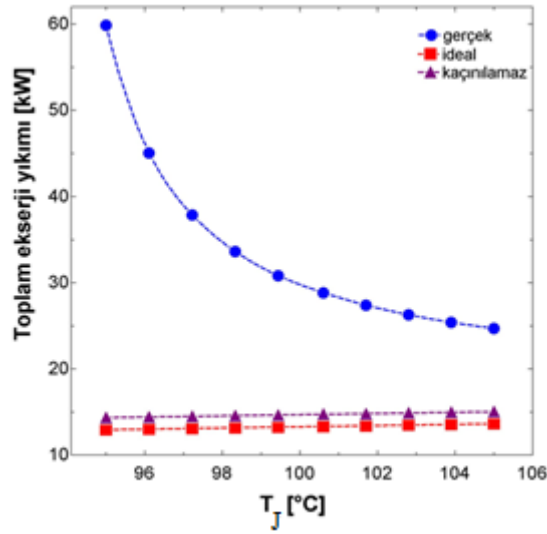
Şekil 3.10 'da jeneratör sıcaklığının gerçek, ideal ve kaçınılamaz şartlar altındaki soğutma tesir katsayısı üzerindeki etkisi karşılaştırılmıştır. Evaporatör sıcaklığı arttıkça ideal ve gerçek şartlar altındaki soğutma tesir katsayıları artarken kaçınılamaz şartlar altındaki soğutma tesir katsayısı azalmaktadır. Soğutma sistemlerinde düşük evaporatör sıcaklıklarına gerek duyulmaktadır. Evaporatör sıcaklığı 4-14°C aralığında incelendiğinde gerçek şartlar altında COP değerinin 0.2-0.5 aralığında değiştiği görülmektedir. Sistemin soğutma tesir katsayısı buharlaştırıcı sıcaklığı 14°C olduğunda maksimum değerini almaktadır.



Şekil 3.10 Evaporatör sıcaklığı ile COP değişimi

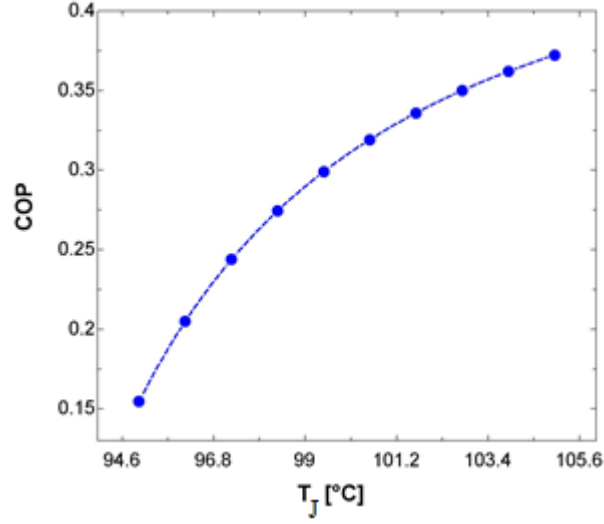
3.1.3 Jeneratör Sıcaklığının Etkisi

Şekil 3.11 'de jeneratör sıcaklığının gerçek, ideal ve kaçınılamaz şartlar altındaki toplam ekserji yıkımı üzerindeki etkisi karşılaştırılmıştır. Jeneratör sıcaklığı arttıkça ideal ve kaçınılamaz şartlar altındaki toplam ekserji yıkımları artarken gerçek şartlar altındaki toplam ekserji yıkımı azalmaktadır. Jeneratörün gerçek şartlar altındaki toplam ekserji yıkımı 100 °C'den sonra ideal duruma yaklaşımı artmıştır. 105°C'de jeneratörün kaçınılabılır ekserji yıkımı minimum olmuştur.



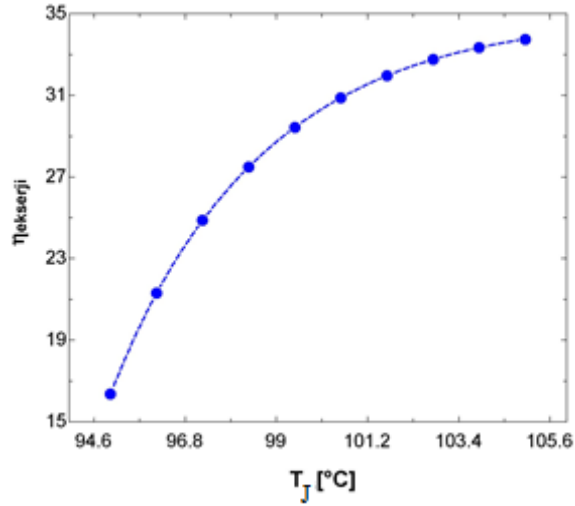
Şekil 3.11 Jeneratör sıcaklığı ile gerçek, ideal ve kaçınılamaz şartlar altındaki toplam ekserji yıkımlarının değişimi

Şekil 3.12 'de jeneratör sıcaklığının gerçek, ideal ve kaçınılamaz şartlar altındaki soğutma tesir katsayısı üzerindeki etkisi karşılaştırılmıştır. Jeneratör sıcaklığı arttıkça ideal ve kaçınılamaz şartlar altındaki soğutma tesir katsayıları artarken gerçek şartlar altındaki soğutma tesir katsayısı azalmaktadır. Jeneratör sıcaklığı 95-105 °C aralığında incelendiğinde gerçek şartlar altında COP değerinin 0.15-0.38 aralığında değiştiği görülmektedir. Sistemin soğutma tesir katsayısı jeneratör sıcaklığı 105 °C olduğunda maksimum değerini almaktadır.



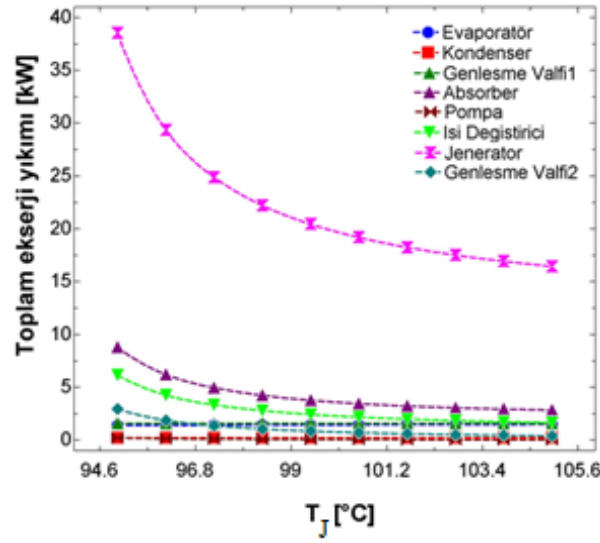
Şekil 3.12 Jeneratör sıcaklığı ile COP değişimi

Şekil 3.13 jeneratör sıcaklığının ekserji verimi üzerindeki etkisi göstermektedir. Jeneratör sıcaklığı arttıkça sistemin ikinci yasa veriminde artış görünmektedir fakat jeneratör sıcaklığı 105°C 'den sonra ekserji verimi sabit kalmıştır. Ekserji verimi jeneratör sıcaklığı yaklaşık olarak 105°C 'de iken maksimum değerini almıştır. Jeneratör sıcaklığı sistemin ekserji verimini arttırırken toplam ekserji yıkımını azalttığı görülmektedir. Ekserji verimindeki artış eğilimi 104 °C'den sonra yavaşlayarak sabitlenmiştir. Jeneratör sıcaklığı 95-105°C aralığında seçilerek ekserji verimindeki artış belirlenmiştir.



Şekil 3.13 Jeneratör sıcaklığı ile ekserji verimi değişimi

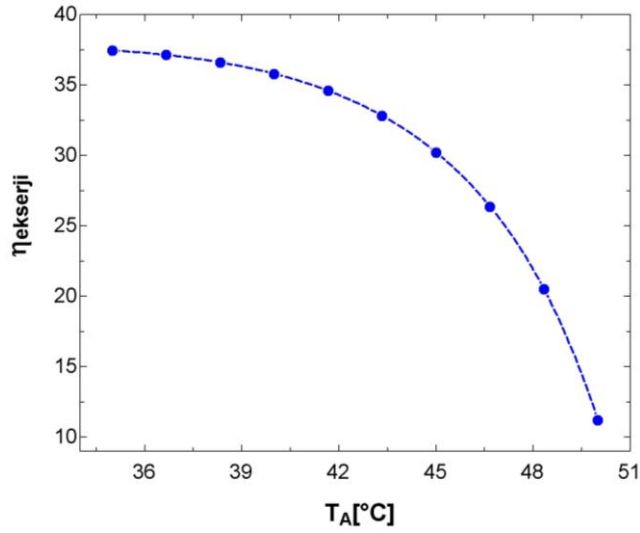
Şekil 3.14 jeneratör sıcaklığının komponentlerdeki ekserji yıkımı üzerindeki etkisini göstermektedir. Jeneratör sıcaklığı arttıkça komponentlerdeki ekserji yıkımlarının genelinde azalma görülmektedir. Ancak ekserji yıkımı jeneratör komponentinde en çok olmuştur. Şekildeki grafik incelendiğinde jeneratör komponentinin ekserji yıkımının kendi sıcaklığıyla ilişkili olduğu görülmektedir. Bu da diğer komponentlerin ekserji yıkımlarının jeneratöre bağlı olduğunu göstermektedir. Jeneratör sıcaklığının yoğuşturucu, genleşme valfi1 ve pompada meydana gelen ekserji yıkımlarına etkisi gözlenmemiştir çünkü bu komponentlerin ekserji yıkımları artan jeneratör sıcaklığına rağmen sabit kalmıştır.



Şekil 3.14 Jeneratör sıcaklığı ile komponentlerdeki ekserji yıkımlarının değişimi

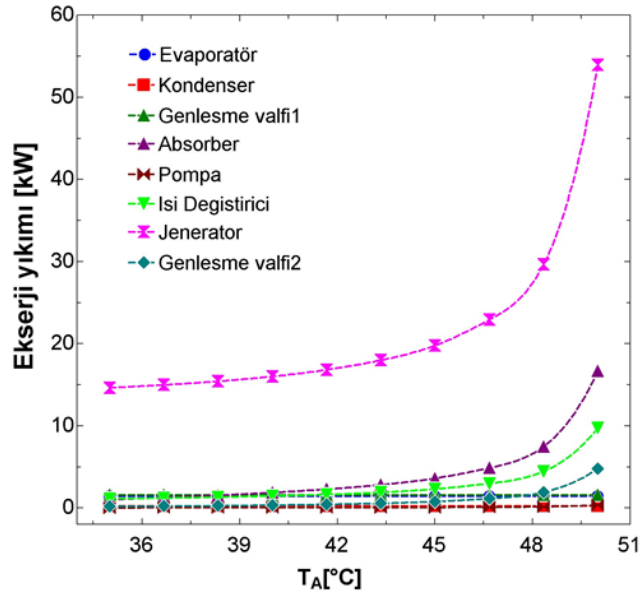
3.1.4 Absorber Sıcaklığının Etkisi

Şekil 3.15 absorber sıcaklığının ekserji verimi üzerindeki etkisini göstermektedir. Absorber sıcaklığı arttıkça sistemin ikinci yasa verimi ters orantılı olarak azalmaktadır. Özellikle 42°C 'den sonra bu azalış daha belirginleşmiştir. Ekserji verimi absorber sıcaklığı yaklaşık olarak 50°C 'de iken minimum değerini almıştır. Absorber sıcaklığı sistemin ekserji verimini azaltırken toplam ekserji yıkımını arttırdığı görülmektedir. Ekserji verimindeki azalış eğilimi 50°C'den sonra son bulmuştur. Absorber sıcaklığı 35-50°C aralığında seçilerek ekserji verimindeki azalış belirlenmiştir.



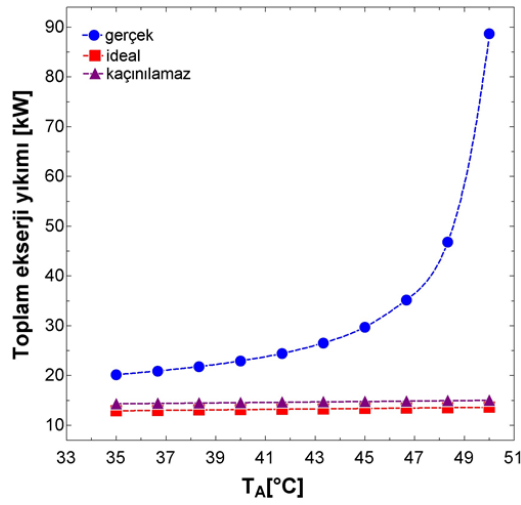
Şekil 3.15 Absorber sıcaklığı ile ekserji verimi değişimi

Şekil 3.16 absorber sıcaklığının komponentlerdeki ekserji yıkımı üzerindeki etkisini göstermektedir. Absorber sıcaklığı arttıkça komponentlerdeki ekserji yıkımlarının genelinde artış görülmektedir. Ancak ekserji yıkımı jeneratör komponentinde en çok olmuştur. Şekildeki grafik incelendiğinde jeneratör komponentinin ekserji yıkımının absorber sıcaklığına daha çok bağlı olduğu görülmektedir. Absorber sıcaklığının yoğuşturucu, genleşme valfi1 ve pompada meydana gelen ekserji yıkımlarına etkisi gözlenmemiştir çünkü bu komponentlerin ekserji yıkımları artan absorber sıcaklığına rağmen sabit kalmıştır.



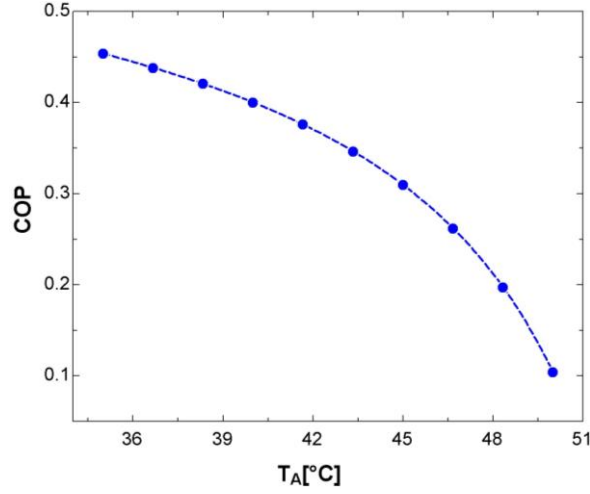
Şekil 3.16 Absorber sıcaklığı ile komponentlerdeki ekserji yıkımlarının değişimi

Şekil 3.17 'de absorber sıcaklığının gerçek, ideal ve kaçınılmaz şartlar altındaki toplam ekserji yıkımı üzerindeki etkisi karşılaştırılmıştır. Absorber sıcaklığı arttıkça gerçek şartlar altındaki toplam ekserji yıkımı artarken ideal ve kaçınılmaz şartlar altındaki toplam ekserji yıkımları sabit kalmaktadır. Gerçek şartlar altında sistemin toplam ekserji yıkımı 20kW olduğu görülmektedir ve başlangıçta ideal ve kaçınılmaz şartlar altındaki toplam ekserji yıkım değerlerine çok yakınken artan absorber sıcaklığı etkisiyle ideal ve kaçınılmaz şartlar altındaki toplam ekserji yıkım değerlerinden uzaklaşarak toplam ekserji yıkım değeri artmıştır. Bu artış sonucunda toplam ekserji yıkımının değeri yaklaşık olarak 90kW olmuştur.



Şekil 3.17 Absorber sıcaklığı ile gerçek, ideal ve kaçınılmaz şartlar altındaki toplam ekserji yıkımının değişimi

Şekil 3.18 'de absorber sıcaklığının gerçek, ideal ve kaçınılmaz şartlar altındaki soğutma tesir katsayısı üzerindeki etkisi karşılaştırılmıştır. Absorber sıcaklığı arttıkça ideal, kaçınılmaz ve gerçek şartlar altındaki soğutma tesir katsayıları azalmaktadır. Absorber sıcaklığı 35-50°C aralığında incelendiğinde gerçek şartlar altında COP değerinin 0.45-0.10 aralığında değiştiği görülmektedir. Absorber sıcaklığı 50°C olduğunda soğutma tesir katsayısı minimum değerini almaktadır. Ekserji verimindeki azalış eğilimi 50°C'den sonra son bulmuştur.



Şekil 3.18 Absorber sıcaklığı ile COP değişimi

3.2 İleri Ekserji Analizi Sonuçları

Tablo 3.4'te sistemin ideal, kaçınılmaz ve gerçek şartlar altında pompanın gücü, absorber ve kondenser gibi komponentlerin kapasitesini, sistemin soğutma tesir katsayısını ve sistemin ikinci yasa verimi karşılaştırılmıştır.

Tablo 3.4 İdeal, kaçınılmaz ve gerçek çevrimlerin güç ve çevrimleri

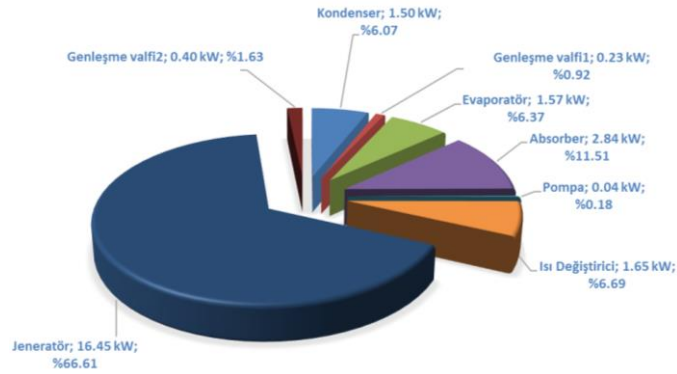
	İdeal	Kaçınılmaz	Gerçek
\dot{W}_{Pompa} (kW)	0.04305	0.05557	0.5088
\dot{Q}_{Abs} (kW)	27.45	28.59	61.33
\dot{Q}_{Con} (kW)	23.5	23.57	23.24
COP	0.6442	0.622	0.3097
η_{Sis} (%)	27.36	27.97	30.22

Tablo 3.5'te sistemde bulunan komponentlerin ekserji yıkımlarını ikiye ayırarak kaçınılabılır-kaçınılamaz ve içsel-dışsal ekserji yıkımlarının ileri ekserji analiz sonuçları karşılaştırılmıştır. Böylece daha detaylı analiz sonuçlarına ulaşılması amaçlanmıştır.

Tablo 3.5 Kaçınılabilir-kaçınılamaz ve içsel-dışsal ekserji yıkımları

Komponent	\dot{E}_{top}	$\dot{E}_Y^{iç}$	$\dot{E}_Y^{Dış}$	$\dot{E}_Y^{Kaç}$	$\dot{E}_Y^{Ön}$
Kondenser	1.5	1.527	0	0.2254	1.227
Genleşme Valfi1	0.2276	0.06794	0.1597	0.1531	0.07447
Evaporator	1.574	1.574	0.00007273	0.6961	0.8779
Absorber	2.843	1.242	2.356	2.459	1.139
Pompa	0.0441	0.007172	0.06323	0.0633	0.007103
Isı Değiştirici	1.652	0.4806	1.817	1.796	0.5025
Jenerator	16.45	10.99	8.779	8.576	11.19
Genleşme Valfi2	0.4036	0.02194	0.7537	0.7553	0.02033
Sistem	24.7	15.91065	13.8535627	14.72	15.04

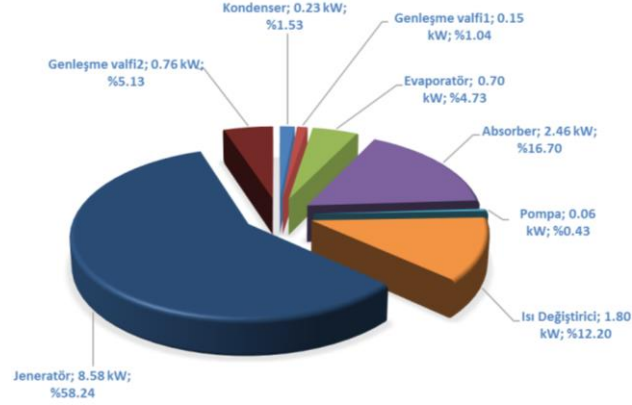
Şekil 3.19 sistemde bulunan komponentlerin ekserji yıkımlarının yüzde dağılımlarını göstermektedir. Şekilde görüldüğü gibi sistemde en yüksek ekserji yıkımı jeneratörde en düşük ekserji yıkımı ise pompada gerçekleşmektedir. Şekilde görülen ekserji yıkımları her bir komponentin konvansiyonel ekserji yıkımını belirtmektedir çünkü bu sonuçlar geleneksel ekserji analizi metoduyla hesaplanmıştır. Daha sonra sonuçların doğruluğu artırmak ve kolaylık açısından ileri ekserji analizi gerçekleştirilmiştir. Şekilde görüldüğü gibi sistemde en büyük ekserji yıkım oranı %66.61 ile jeneratörde gerçekleşmiştir. Genleşme valfi1 ve pompa en küçük kaçınılabilir ekserji yıkım oranına sahip komponentlerdir.



Şekil 3.19 Komponentlerin ekserji yıkımlarının yüzde dağılımları

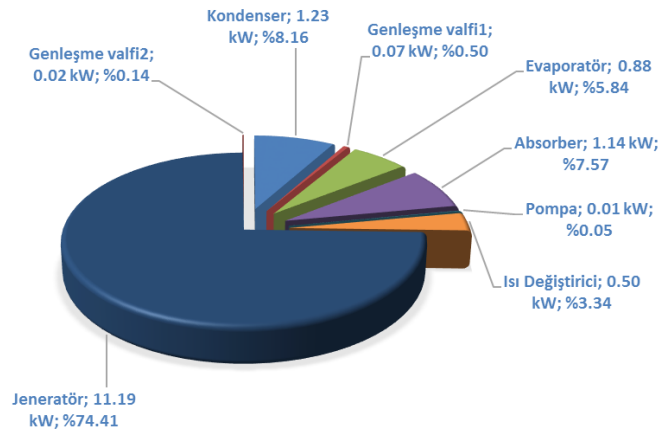
Şekil 3.20 sistemde bulunan komponentlerin kaçınılabilir ekserji yıkımlarının yüzde dağılımlarını göstermektedir. Şekilde görüldüğü gibi sistemde en büyük kaçınılabilir ekserji yıkımı jeneratörde en küçük kaçınılabilir ekserji yıkımı ise pompada gerçekleşmektedir. Şekil 3.20’de en yüksek geliştirme potansiyelinin olduğu potansiyel jeneratördür. En düşük geliştirme potansiyeli ise pompada bulunmaktadır. Şekilde görüldüğü gibi sistemde en

büyük kaçınılabilir ekserji yıkım oranı %58.24 ile jeneratörde gerçekleşmiştir. Genleşme valfi1 de kaçınılabilir ekserji yıkım oranı %1.04, pompada kaçınılabilir ekserji yıkım oranı %0.43 ile en küçük kaçınılabilir ekserji yıkımına sahip componentlerdir.



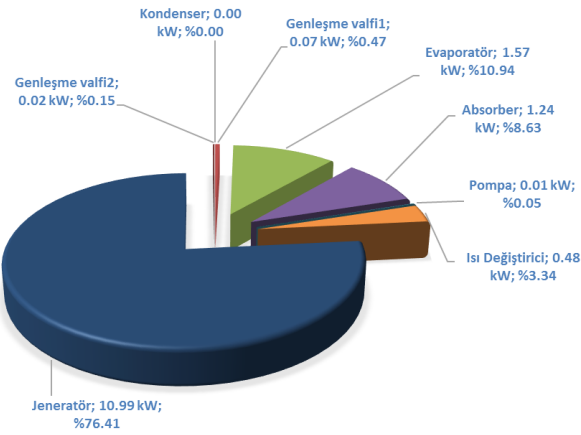
Şekil 3.20 Komponentlerin kaçınılabilir ekserji yıkımlarının yüzde dağılımları

Şekil 3.21 sistemde bulunan componentlerin kaçınılamaz ekserji yıkımlarının yüzde dağılımlarını göstermektedir. Sistemde en büyük kaçınılamaz ekserji yıkımı jeneratörde en küçük kaçınılamaz ekserji yıkımı ise pompada gerçekleşmektedir. Kaçınılamaz ekserji yıkımı sonuçlarının hesabı, dışsal ekserji yıkımı hesaplarken kullanılan benzer hesaplama yöntemiyle hesap edilir. Yani her bir componentin konvansiyonel ekserji yıkımından kendisinin kaçınılabilir ekserji yıkımı çıkarılarak hesaplanmaktadır. Şekil 3.21 deki veriler bu şekilde oluşturulmuştur. Şekilde görüldüğü gibi sistemde en büyük kaçınılamaz ekserji yıkım oranı %74.41 ile jeneratörde gerçekleşmiştir. Genleşme valfi1 de kaçınılamaz ekserji yıkım oranı %0.50, pompada kaçınılamaz ekserji yıkım oranı %0.05 ile en küçük kaçınılamaz ekserji yıkımına sahip componentlerdir.



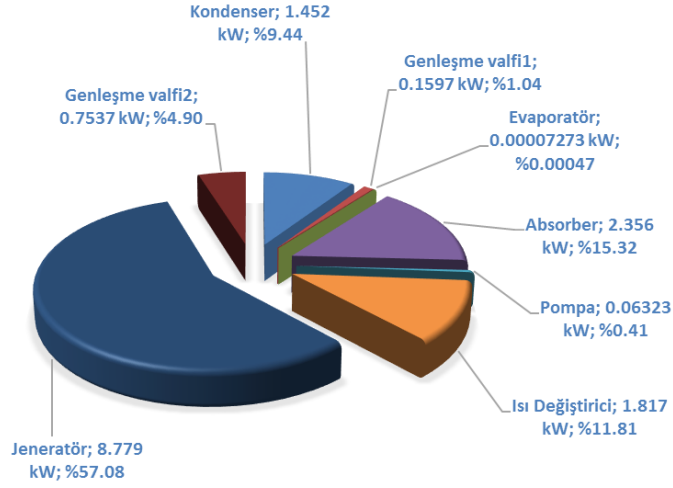
Şekil 3.21 Komponentlerin kaçınılamaz ekserji yıkımlarının yüzde dağılımları

Şekil 3.22 sistemde bulunan komponentlerin içsel ekserji yıkımlarının yüzde dağılımlarını göstermektedir. Şekilde görüldüğü gibi sistemde en büyük içsel ekserji yıkımı jeneratörde en küçük içsel ekserji yıkımı ise pompada gerçekleşmektedir. Şekilde görüldüğü üzere kondenserin ekserji yıkımı tamamen dışsaldır bunun sebebi kondenser için tersinmezliğin yalnız kendisinden kaynaklanmasıdır. Şekilde görüldüğü gibi sistemde en büyük içsel ekserji yıkım oranı %76.41 ile jeneratörde gerçekleşmiştir. Genleşme valfi 1 de içsel ekserji yıkım oranı %0.47, pompada içsel ekserji yıkım oranı %0.05 ile en küçük içsel ekserji yıkımına sahip komponentlerdir.



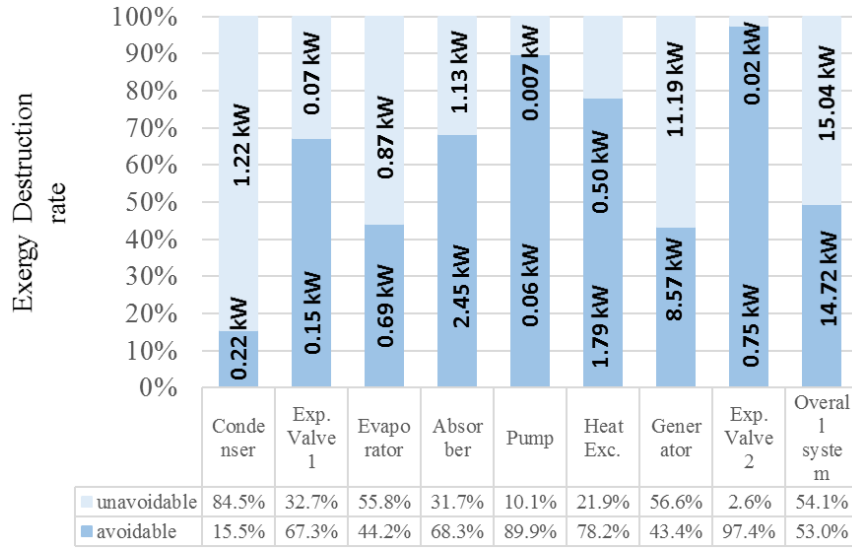
Şekil 3.22 Komponentlerin içsel ekserji yıkımlarının yüzde dağılımları

Şekil 3.23 sistemde bulunan komponentlerin dışsal ekserji yıkımlarının yüzde dağılımlarını göstermektedir. Sistemde en büyük dışsal ekserji yıkımı jeneratörde en küçük dışsal ekserji yıkımı ise kondenserde gerçekleşmektedir. Jeneratör ve absorber için dışsal ekserji yıkımı büyük oranda diğer komponentlere bağlıdır çünkü sistemdeki diğer komponentlerden dışsal ekserji yıkımları daha yüksektir. Şekilde görüldüğü gibi sistemde en büyük dışsal ekserji yıkım oranı %57.08 ile jeneratörde gerçekleşmiştir. Genleşme valfi 1 de dışsal ekserji yıkım oranı %1.04, pompada dışsal ekserji yıkım oranı %0.41 ile en küçük dışsal ekserji yıkımına sahip komponentlerdir.



Şekil 3.23 Komponentlerin dışsal ekserji yıkımlarının yüzde dağılımları

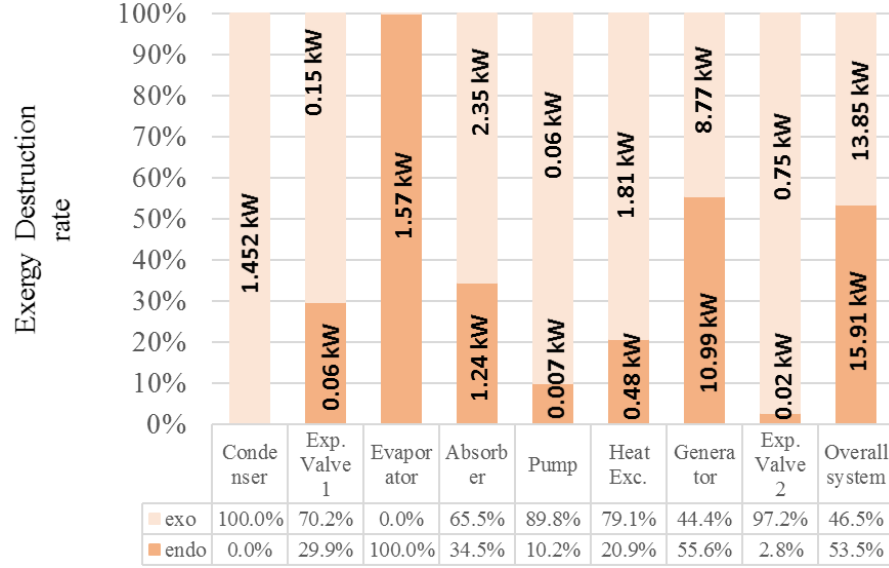
Sistemin geliştirme potansiyelleri incelediğimizde geliştirme potansiyelinin düşük olduğu saptanmıştır. Bunun nedenini kaçınılamaz ekserji yıkımının kaçınılabılır ekserji yıkımından fazla olmasını söyleyebiliriz. Şekil 3.24 sistemde bulunan componentlerin kaçınılabılır ve kaçınılamaz ekserji yıkım oranlarının dağılımlarını göstermektedir. Şekilde görüldüğü gibi sistemde bulunan componentlerin kendi içinde kaçınılabılır ve kaçınılamaz ekserji yıkımı yüzde dağılımları verilmektedir.



Şekil 3.24 Komponentlerin kaçınılabılır ve kaçınılamaz ekserji yıkım oranlarının dağılımları

İleri ekserji analizi yapmadaki amaç hangi componentin sistemdeki diğer componentler üzerinde ne kadar etkiye sahip olduğunun tespit edilmesidir. Şekil 3.25 sistemde bulunan componentlerin içsel ve dışsal ekserji yıkım oranlarının dağılımlarını göstermektedir.

Şekilde görüldüğü gibi sistemde bulunan komponentlerin kendi içinde içsel ve dışsal ekserji yıkımı yüzde dağılımları verilmektedir. Evaporatörde içsel ekserji yıkımı %100 iken kondenserde %0.00'dır. Kondenserde dışsal ekserji yıkımı %100 iken evaporatörde %0.00'dır.



Şekil 3.25 Komponentlerin içsel ve dışsal ekserji yıkım oranlarının dağılımları

BÖLÜM 4

SONUÇ VE ÖNERİLER

Günümüzde yenilenebilir enerjiye artan ilgi sonucunda araştırmacılar absorpsiyonlu soğutma sistemlerine rağbet etmişlerdir. Bu çalışmalar hem teorik hem de deneysel alanda kendini göstermektedir.

Absorpsiyonlu soğutma sistemlerinde en yaygın LiBr-H₂O ve NH₃-H₂O akışkan çiftleri tercih edilmektedir ve bu akışkanlar çeşitli avantajlarından dolayı genellikle tek etkili absorpsiyonlu soğutma sistemlerinde analiz yapılırken kullanılmıştır. Bu avantajlar arasında suyun soğutucu akışkan olarak yüksek buharlaşma ısısına sahip olması ya da amonyağın donma noktasının -77 °C olmasından dolayı düşük sıcaklıklarda avantajlara sahip olmasını gösterebiliriz.

Çalışmada termodinamiğin birinci ve ikinci yasalarını kullanarak hesapladığımız tek etkili amonyak-sulu absorpsiyonlu soğutma çevriminde bulunan elemanların sıcaklıklarındaki değişim ve amonyağın derişimindeki değişim çevrim performansının belirlenmesinde önem arz etmektedir.

Sistemin toplam ekserji yıkımı 16.45 kw, soğutma performansı 0.3 ve ekserji verimi 30.22 olarak hesaplanmıştır. Sistemde en büyük ekserji yıkım oranı %66.61 ile jeneratörde gerçekleşmiştir. Genleşme valfi1 ve pompa en küçük kaçınılabılır ekserji yıkım oranına sahip komponentlerdir. Sistemde en büyük kaçınılamaz ekserji yıkım oranı %74.41 ile jeneratörde gerçekleşmiştir. Genleşme valfi1 de kaçınılamaz ekserji yıkım oranı %0.50, pompada kaçınılamaz ekserji yıkım oranı %0.05 ile en küçük kaçınılamaz ekserji yıkımına sahip komponentlerdir. Sistemde en büyük içsel ekserji yıkım oranı %76.41 ile jeneratörde gerçekleşmiştir. Genleşme valfi1 de içsel ekserji yıkım oranı %0.47, pompada içsel ekserji yıkım oranı %0.05 ile en küçük içsel ekserji yıkımına sahip komponentlerdir.

Absorpsiyonlu soğutma üzerine yapılan çalışmalarda küçük kapasiteli sistem tasarımları veya çevrimin termodinamik analizinden öteye kapsamlı bir çalışma ortaya konulamamıştır.

Sonuç olarak, küresel dünyanın problemi olan artan enerji ihtiyacının karşılanması için araştırmalar daha az enerji tüketen ancak daha fazla soğutma kapasitesine sahip cihazlara olan rağbet her zamankinden daha fazla olacaktır. Bunun için yüksek miktarda elektrik

tüketimi gerektiren mekanik buhar sıkıştırırmalı sistemlerin yerine alternatif olabilecek temiz ve sürdürülebilir bir yenilenebilir enerji kaynağı kullanarak enerji tasarrufuna önemli katkılar sağlanabilir. Bu kapsamda birçok ülkede artan farklı araştırma ve geliştirmeler yapılmaktadır, ülkemiz de bu uygulamaların artırılması yararlı olacaktır.

KAYNAKLAR

- Aman, J. ve Henshaw, P. (2014). Residential solar air conditioning energy and exergy analyses of an ammonia-water absorption cooling system. *Applied Thermal Engineering*, 62:424-32.
- Aphornratana, S. ve Eames, I.W. (1995). Thermodynamic analysis of absorption refrigeration cycles using the second law of thermodynamics method. *Int. J. Refrig.*, 18:244–252.
- Adewusi, S.A. ve Zubair SM. (2004). Second law based thermodynamic analysis of ammonia–water absorption systems. *Energy Convers Manage*, 45:2355–69
- Atmaca, İ. ve Yiğit, A. (2002). Güneş Enerjisi Kaynaklı Absorpsiyonlu Soğutma Sisteminin Simülasyonu. DEÜ Mühendislik Fakültesi Fen ve Mühendislik Dergisi, 3:125-136
- Bozorgan, N. (2011). The energy and exergy analysis of single-effect absorption chiller. *Majlesi J. Mech. Eng.*, 4:19–26.
- Bai, T., Yu, J. ve Yan, G. (2016) Advanced exergy analysis on a modified auto-cascade freezer cycle with an ejector. *Energy*, 113:385-398
- Bereche, R.P., Palomino, R.G. ve Nebra, S.A. (2009). Thermoeconomic analysis of a single and double-effect LiBr/H₂O absorption refrigeration system. *Int. J. Thermodyn*, 12, 89-96.
- Chua, H.T. ve Toh, H.K. (2002). Thermodynamic modeling of an ammonia/water absorption chiller. *Int J Refrig*, 25:896–906.
- Chua, H.T., Toh, H.K., Malek, A. ve Srinivasan, K. (2000). Improved thermodynamic property field of LiBr–H₂O solution. *Int J Refrig*, 23:412–29.
- Chen, J., Zhu, K., Huang, Y., Chen, Y. ve Luo, X. (2017) Evaluation of the ejector refrigeration system with environmentally friendly working fluids from energy, conventional exergy and advanced exergy perspectives. *Energy Convers Manag*, 148:1208-1224
- Çelik, A.T. (2007). Absorpsiyonlu Soğutma Sistemleri. Gebze Yüksek Teknoloji Enstitüsü Mühendislik ve Fen Bilimleri Enstitüsü, Yüksek Lisans Tezi
- Dincer, I. ve Cengel, Y.A. (2001). Energy, entropy and exergy concepts and their roles in thermal engineering. *Entropy*, 3:116-49
- Darkwa, J., Fraser, S. ve Cow, D.H.C. (2012). Theoretical and practical analysis of an integrated solar hot water-powered absorption cooling system. *Energy*, 39:395-402.
- Erbay, Z. ve Hepbasli, A. (2014) Application of conventional and advanced exergy analyses to evaluate the performance of a ground-source heat pump (GSHP) dryer used in food drying. *Energy Convers Manag*, 78:499-507

- Erol, G.O., Açıkkalp, E. ve Hepbasli, A. (2017) Performance assessment of an ice rink refrigeration system through advanced exergoeconomic analysis method. *Energy and Buildings*, 138:118-126
- Edem, N.T.K., Le Pierrès, N. ve Luo, L. (2012). Numerical dynamic simulation and analysis of a lithium bromide–water long-term solar heat storage system. *Energy*, 37:346–58
- Eicker, U. ve Pietruschka, D. (2009). Design and performance of solar powered absorption cooling systems in office buildings. *Energy Build*, 41, 81-91.
- Florides, G.A., Kalogirou, S.A. ve Tassou, S.A. (2003). Design and construction of a LiBr–water absorption machine. *Energy Conversion Management*, 44:2483–08
- Gong, S. ve Goni, K. (2015). Advanced exergy analysis of an absorption cooling machine: Effects of the difference between the condensation and absorption temperatures. *Int J Refrig*, 59:224–34.
- Gunhan, T., Ekren, O., Demir, V., Hepbasli, A., Erek, A. ve Sahin, A.S. (2014). Experimental exergetic performance evaluation of a novel solar assisted LiCl–H₂O absorption cooling system. *Energy Build*, 68A:138–46.
- Gogoi, T.K. ve Konwar, D. (2016). Exergy analysis of a H₂O–LiCl absorption refrigeration system with operating temperatures estimated through inverse analysis. *Energy Convers Manage*, 110:436–47
- Ghaddar, N.K., Shihab, M. ve Bdeir, F. (1997). Modeling and simulation of solar absorption system performance in Beirut. *Renew. Energy*, 10, 539-558.
- Gomri, R. (2009). Second law comparison of single effect and double effect vapour absorption refrigeration systems. *Energy Convers Manage*, 50:1279–87
- Gogoi, T.K. ve Talukdar, K. (2014). Thermodynamic analysis of a combined reheat regenerative thermal power plant and water–LiBr vapour absorption refrigeration system. *Energy Convers Manage*, 78:595–610.
- Gogoi, T.K. ve Talukdar, K. (2014). Exergy based parametric analysis of a combined reheat regenerative thermal power plant and water–LiBr vapour absorption refrigeration system. *Energy Convers Manage*, 83:119–32.
- Gommed, K., Grossman, G. ve Ziegler, F. (2004). Experimental investigation of a LiCl–water open absorption system for cooling and dehumidification. *Journal of solar energy engineering*, 126:710-5.
- Gogoi, T.K. ve Konwar, D. (2016). Exergy analysis of a H₂O–LiCl absorption refrigeration system with operating temperatures estimated through inverse analysis. *Energy Conversion and Management*, 110:436-47.
- Gonzales, R. ve Nebra, S.A. (2012). Exergy calculation of lithium bromide–water solution and its application in the exergetic evaluation of absorption refrigeration systems

- LiBr- H₂O. *International Journal of Energy Research.*, 36:166-81.
- Gong, S. ve Goni, B.K. (2014) Parametric study of an absorption refrigeration machine using advanced exergy analysis. *Energy*, 76:453-467
- Hepbasli, A. (2008). A key review on exergetic analysis and assessment of renewable energy resources for a sustainable future. *Renew. Sust. Energy. Rev.*, 12, 593-661
- Hong, D., Tang, L. ve Chen, G. (2010). A novel absorption refrigeration cycle. *Appl. Therm. Eng.*, 30:2045-2050.
- Johnson, G. ve Kemery, B.P. (2015). The experimental characterization of a lithium bromide–water absorption chiller and the development of a calibrated model. *Sol Energy*, 122:368–81.
- Kaynakli, O. ve Kilic, M. (2007). Theoretical study on the effect of operating conditions on performance of absorption refrigeration system. *Energy Convers Manage*, 48:599–607
- Kaita, Y. (2002). Simulation results of triple-effect absorption cycles. *Int J Refrig*, 25:999–1007.
- Kaushik, S.C. ve Arora, A. (2009). Energy and exergy analysis of single effect and series flow double effect water-lithium bromide absorption refrigeration systems. *Int J Refrig*, 32:1247–58.
- Ketjoy, N. ve Mansiri, K. (2013). Performance Evaluation of 35kW LiBr–H₂O Solar Absorption Cooling System in Thailand. *Energy Procedia*, 34:198–210.
- Kim, Y.J., Kim, S., Joshi, Y.K. ve Fedorov, A.G. (2012). Thermodynamic analysis of an absorption refrigeration system with ionic–liquid/refrigerant mixture as a working fluid. *Energy*, 44:1005–16
- Kaita, Y. (2001). Thermodynamic properties of lithium bromide-water solutions at high temperatures. *Int. J. Refrig.*, 24:374–390
- Kurtdere, N. (2010). Güneş Enerjisi ile Çalışan Absorbsiyonlu Soğutma Sistemlerinin Termodinamik İncelemesi Sistem Simülasyonu ve Analizi. YTÜ Fen Bilimleri Enstitüsü, Yüksek Lisans Tezi
- Kuzgun, Ö. (1997). Güneş enerjili absorpsiyonlu soğutma sisteminin incelenmesi. İ.T.Ü. Fen Bilimleri Enstitüsü, Yüksek Lisans Tezi.
- Lamine, C.M. ve Said, Z. (2014). Energy analysis of single effect absorption chiller (LiBr/H₂O) in an industrial manufacturing of detergent. *Energy Proc*, 50:105–12
- Liu, Z., Liu, B., Guo, J. Xin, X. ve Yang, X. (2019). Conventional and advanced exergy analysis of a novel transcritical compressed carbon dioxide energy storage system. *Energy Convers Manag*, 198:111-807
- Mohammadi, Z. ve Fallah, S.M. (2019). Advanced exergy analysis of recompression

supercritical CO₂ cycle. *Energy*, 178:631-643

- Manzela, A.A., Hanriot, S.M. ve Sodr , J.R. (2010). Using engine exhaust gas as energy source for an absorption refrigeration system. *Appl. Energy*, 87:1141-1148.
- Mirsa, R.D., Sahoo, P.K. ve Gupta, A. (2005). Thermoeconomic evaluation and optimization of a double-effect H₂O/LiBr vapour-absorption refrigeration system. *Int. J. Refrig.*, 28:331–343.
- Morosuk, T., Tsatsaronis, G. ve Zhang, C. (2012). Conventional thermodynamic and advanced exergetic analysis of a refrigeration machine using a Voorhee's compression process. *Energy Convers Manag*, 60:143-151
- Montazerinejad, H., Ahmadi, P. ve Montazerinejad, Z. (2019). Advanced exergy, exergo-economic and exergo-environmental analyses of a solar based trigeneration energy system. *Applied Thermal Engineering*, 152:666-685
- Morosuk, T. ve Tsatsaronis, G. (2009). Advanced exergetic evaluation of refrigeration machines using different working fluids. *Energy*, 34:2248-2258
- Morosuk, T. ve Tsatsaronis, G. (2008). A New Approach to the Exergy Analysis of Absorption Refrigeration Machines. *Energy*, 33: 890-907
- Nebra, S.A. (2009). Thermoeconomic analysis of a single and double double-effect H₂O/LiBr absorption refrigeration system. *Int. J. Thermodyn.*, 12:89–96.
- Petrakopoulou, F., Tsatsaronis, G., Morosuk, T. ve Carassai, A. (2012). Conventional and advanced exergetic analyses applied to a combined cycle power plant. *Energy*, 41:146-152
- Rivera, C. ve Rivera, W. (2003). Modeling of an intermittent solar absorption refrigeration system operating with ammonia–lithium nitrate mixture. *Solar Energy Mater Solar Cells*, 76:417–27.
- Ruiz, E., Ferro, V.R., Moreno, D. ve Palomar, J. (2014). Evaluation of ionic liquids as absorbents for ammonia absorption refrigeration cycles using COSMO-based process simulations. *Appl Energy*, 123:281-91.
- Saleh, A. ve Mosa, M. (2014). Optimization study of a single-effect water–lithium bromide absorption refrigeration system powered by flat-plate collector in hot regions. *Energy Convers Manage*, 87:29–36.
- Sun, D.W. (1998). Comparison of the performances of NH₃-H₂O, NH₃-LiNO₃ and NH₃-NaSCN absorption refrigeration systems. *Energy Convers. Manag.*, 39, 357-368
- Sencan, A., Yakut, K.A. ve Kalogirou, S.A. (2005). Exergy analysis of lithium bromide/ water absorption systems. *Renew. Energy*, 30, 645-657
- Saravanan, R. ve Maiya, M.P. (1998). Thermodynamic comparison of water-based working

- fluid combinations for a vapour absorption refrigeration system. *Appl Therm Eng*, 18:553–68.
- She, X., Yin, Y., Xu, M. ve Zhang, X. (2015). A novel low-grade heat-driven absorption refrigeration system with LiCl–H₂O and LiBr–H₂O working pairs. *Int J Refrig*, 58:219–34
- Sencan, A., Yakut, K.A ve Kaligirou, S.A. (2005). Exergy analysis of lithium bromide/water absorption systems. *Renew Energy*, 30:645–57.
- Talbi, M.M. ve Agnew, B. (2000). Exergy analysis: an absorption refrigerator using lithium bromide and water as the working fluids. *Appl. Therm. Eng.*, 20, 619-630
- Xu, C., Wang, Z., Li, X. ve Sun, F. (2011). Energy and exergy analysis of solar power tower plants. *Appl. Therm. Eng.*, 31:3904–3913
- Xu, Z.Y., Wang, R.Z. ve Xia, Z.Z. (2013). A novel variable effect LiBr-water absorption refrigeration cycle. *Energy*, 60, 457–463.
- Yokozeke, A. (2005). Theoretical performances of various refrigerant-absorbent fluids in a vapor-absorption refrigeration cycle by the use of equations of state. *Appl Energy*, 80:383-99.
- Yildiz, A. ve Ersoz M.A. (2013). Energy and exergy analyses of the diffusion absorption refrigeration system. *Energy*, 60:407–15.
- Zhai, X.Q. ve Wang, R.Z. (2009). Experimental investigation and theoretical analysis of the solar adsorption cooling system in a green building. *Appl. Therm. Eng.*, 29:17-27
- Zhao, H., Yuan, T., Gao, J., Wang, X. ve Yan, J. (2019). Conventional and advanced exergy analysis of parallel and series compression-ejection hybrid refrigeration system for a household refrigerator with R290. *Energy*, 166:845-861
- Zhu, L.H. ve Gu, J.J. (2010). Second law-based thermodynamic analysis of ammonia/sodium thiocyanate absorption system. *Renew Energy*, 35:1940–6

ÖZGEÇMİŞ

Kişisel Bilgiler

Adı Soyadı : Murat Bertan PARILTI
Doğum Yeri ve Tarihi : Çankaya/ANKARA 24.08.1992

Eğitim Durumu

Lisans Öğrenimi : Bartın Üniversitesi Müh. Fak. Makine Müh. Bölümü
Yüksek Lisans Öğrenimi : Bartın Üniversitesi Fen Bilimleri Enstitüsü Makine Müh. Anabilim Dalı

Bildiği Yabancı Diller : İngilizce

Bilimsel Faaliyet/Yayınlar : Considering of Development Potential of Absorption Refrigeration System Utilizing Advanced Exergy Analysis Method, 1st International Conference on Advances in Mechanical and Mechatronics Engineering ICAMMEN 2018 8-9 Nov 2018, ANKARA

Thermodynamic Analysis of Absorption Refrigeration Cycle Utilizing Enhanced Exergy Analysis Method, 1st International Conference on Advances in Mechanical and Mechatronics Engineering ICAMMEN 2018 8-9 Nov 2018, ANKARA

Aldığı Ödüller :

İş Deneyimi

Stajlar : ERDEMLER SOĞUTMA A.Ş
Projeler ve Kurs Belgeleri : 216M051, Özgün Bir Birleşik Parabolik Yoğunlaştırıcı-Fotovoltaik Termal Sistem (Pvt-Cpc) Tasarımı,

Kurulumu Ve Performansının Deęerlendirilmesi, 3001 -
Bařlangıç AR-GE, Burslu, Sonu raporu kabul,
ARDEB, MAG - Mühendislik Arařtırma Destek Grubu,
Projeye Katılma/Ayrılma Tarihleri: 01.06.2017 -
01.01.2019, Proje Bařlangı/Bitiř Tarihleri: 01.05.2017
- 01.01.2019.

alıřtıęı Kurumlar :

İletiřim

E-Posta Adresi : mbparilti@gmail.com

Tarih : .../.../20... (Tez Savunma Tarihi)